

# In de ban van de buurt

Over de relatie tussen kwetsbare buurten en psychosociale jeugdproblematiek

Masterthesis Sociologie

Bas Bijsterveld, S4106032

b.p.bijsterveld@student.rug.nl

Begeleider: dr. Jaap Nieuwenhuis

Referent: dr. Gert Stulp

02-08-2024

## Voorwoord

Sociale verschillen hebben me altijd geïntrigeerd. Al van jongs af aan keek ik met fascinatie naar de verschillen in het leven van mensen per wijk, buurt of straat. De recente toename in de mediabelangstelling voor de groeiende maatschappelijke kloof en een hernieuwde politieke onderkenning van de plaatsgebonden aard van sociale voor- en tegenspoed heeft mijn interesse opnieuw aangewakkerd.

Om deze reden heb ik stagegelopen bij de afdeling gebiedszaken van de Gemeente Groningen, waar multidisciplinaire teams werken aan het versterken van kwetsbare stadswijken. Met veel plezier en enthousiasme heb ik daar bijgedragen aan de wijkaanpak en heb ik met grote belangstelling onderzoek gedaan naar de relatie tussen kwetsbare buurten en psychosociale jeugdproblematiek. Het eindresultaat van dit onderzoek ligt voor u in de vorm van mijn masterthesis, die ik de afgelopen maanden heb geschreven.

Mijn speciale dank gaat uit naar dr. Jaap Nieuwenhuis, voor zijn fijne begeleiding en lessen vanuit zijn uitgebreide ervaring in het onderzoek naar buurteffecten. Daarnaast wil ik dr. Gert Stulp bedanken voor zijn kritische blik en hulp bij de statistische analyses. Tot slot ben ik gebiedsontwikkelaar Frank Mulder dankbaar voor het vertrouwen, de vele leermomenten en de kans om de wereld van de wijkaanpak in de praktijk te ontdekken.

Ik wens u veel leesplezier.

Bas Bijsterveld

## Samenvatting

Psychosociale jeugdproblematiek is een groot maatschappelijk probleem. Niet alleen omdat het aantal jongeren met jeugdzorg nog niet eerder zo hoog was, ook omdat de prevalentie van psychosociale jeugdproblematiek hoger is in kwetsbare wijken dan in wijken met een bredere welvaart. Het zou voor de psychosociale gezondheid van jongeren niet uit mogen maken waar de wieg heeft gestaan, en daarom wordt in dit onderzoek getracht een verklaring te vinden voor die ongelijkheid. Dit onderzoek plaatst psychosociale jeugdproblematiek in kwetsbare buurten in een bredere sociale context op basis van de sociale desorganisatietheorie. Het uitgangspunt van deze beproefde theorie is dat een viertal kwetsbaarheidskenmerken bestaande uit lage sociaaleconomische status (1), hoge culturele diversiteit (2), veel gebroken gezinnen (3) en een hoge verhuismobiliteit (4) een ongunstig effect hebben op de sociale samenhang en informele sociale controle in een wijk, waardoor een situatie ontstaat waarin problematiek gedijt. In de literatuur over buurteffecten worden sociale samenhang en informele sociale controle vaak samengevat in één concept: *collective efficacy*. Derhalve is gezocht naar een antwoord op de vraag: “Wat is de rol van *collective efficacy* in het verband tussen kwetsbare buurten en psychosociale jeugdproblematiek?” Met behulp van data over 54 jongeren woonachtig in de Groningse buurt Paddepoel-Zuid, is op een laag geografisch schaalniveau statistisch onderzocht of buurtbewoners met voornoemde kenmerken afbreuk doen aan de beschermende werking van *collective efficacy* en daarmee indirect bijdragen aan meer psychosociale jeugdproblematiek. Hoewel de uitkomsten van het onderzoek erop wijzen dat de vier kwetsbaarheidskenmerken inderdaad nadelig verband houden met *collective efficacy*, is er geen concreet bewijs gevonden voor de verwachte mediërende werking van *collective efficacy* in het verband tussen kwetsbare buurten en psychosociale jeugdproblematiek. Echter, de mate waarin de resultaten ondanks de beperkingen van de steekproef overeenstemmen met de verwachtingen geeft als zodanig aanleiding voor een uitgebreider onderzoek. Onderzoek naar de oorzaken van psychosociale jeugdproblematiek draagt bij aan de gezondheid van toekomstige generaties. Door meer inzicht te krijgen in de rol van de buurtgemeenschap in het verband tussen kwetsbare buurten en psychosociale jeugdproblematiek, kan een stap gezet worden naar een samenleving waarin psychosociale jeugdproblematiek kan worden voorkomen en de druk op de jeugdzorg kan worden beperkt.

# Inhoud

Voorwoord .....	2
Samenvatting .....	3
1. Inleiding .....	5
2. Theorie .....	7
2.1 Psychosociale jeugdproblematiek .....	7
2.2 Oorzaken van psychosociale jeugdproblematiek.....	8
2.3 Het verband tussen kwetsbare wijken en psychosociale jeugdproblematiek.....	10
2.4 Hypotheses.....	12
3. Methode.....	13
3.1 Databronnen.....	13
3.3 Operationalisatie.....	13
3.4 Analyse.....	19
4. Resultaten .....	21
4.1 Univariate analyse.....	21
4.2 Bivariate analyse .....	23
4.3 Hoofdanalyse.....	25
4.4 Modelinspectie.....	32
5. Discussie.....	33
6. Bibliografie.....	38
7. Bijlagen .....	45
<i>Bijlage 1 – Analyses inclusief nulwaarde</i> .....	45
<i>Bijlage 2 – Dataset</i> .....	50
<i>Bijlage 3 – Aanvullende analyses</i> .....	54
<i>Bijlage 4 – Histogrammen en PP-plots</i> .....	55
<i>Bijlage 5 – Modelfit</i> .....	59
<i>Bijlage 6 – Alternatieve lineaire regressies</i> .....	61
<i>Bijlage 7 – Modelinspectie</i> .....	66
<i>Bijlage 8 – Syntax</i> .....	71

# 1. Inleiding

In Nederland staat de wijkaanpak sinds lange tijd weer hoog op de politieke agenda. Na de stadsvernieuwing eind jaren 60, het grotestedenbeleid vanaf midden jaren 90, en de veertig krachtwijken van minister Ella Vogelaar vanaf 2007 initieert het Rijk nu een vierde golf van wijkbeleid. Met het langjarige Nationaal Programma Leefbaarheid en Veiligheid (NPLV) worden grote investeringen gedaan in twintig stedelijke focusgebieden om maatschappelijke problemen rondom de thema's werken, leren, wonen en veiligheid aan te pakken (Ministerie van Binnenlandse Zaken en Koninkrijksrelaties, 2022).

Dat er zoveel energie wordt gestoken in het sociaal, ruimtelijk en economisch verbeteren van wijken laat zien hoe er vanuit de overheid wordt gedacht over de invloed van de wijk op haar bewoners. De meeste wijken die nu in het NPLV meedoen zijn wijken waar historisch gezien structureel sprake is geweest van maatschappelijke problematiek. De focus in de hedendaagse aanpak ligt mede daarom voor een belangrijk deel op de ontwikkeling van kinderen, en het doorbreken van de intergenerationele overdracht van problematiek.

Het Sociaal Cultureel Planbureau stelt vast dat de kans op een lager opleidingsniveau, vroegtijdig schoolverlaten, delinquent gedrag, en belemmeringen van de lichamelijke of geestelijke gezondheid groter is bij kinderen die opgroeien in kwetsbare wijken (Ministerie van Volksgezondheid, Welzijn en Sport, 2021). Bovendien laat onderzoek zien dat kinderen die opgroeien in een kwetsbaar milieu over het algemeen een ongunstigere ontwikkeling doormaken dan kinderen uit welvarendere wijken, en dat de prevalentie van psychosociale problematiek onder jongeren tot 80% hoger is in achterstandswijken dan in welgestelde buurten (Reijneveld et al., 2005).

Over het algemeen wordt aangenomen dat dit fenomeen ten dele verklaard kan worden door een complex aan sociale factoren die deze wijken kenmerken. Ook in het oude Afrikaanse gezegde 'It takes a village to raise a child' ligt de veronderstelling dat de sociale omgeving waarin een kind opgroeit een belangrijke rol speelt in de ontwikkeling, naast de ouderlijke opvoeding. Desalniettemin is veel van het bestaande bewijs voor dergelijke wijkeffecten afkomstig uit de Verenigde Staten en is het relevant om bij te dragen aan het onderzoek in de Nederlandse context. Dit onderzoek is erop gericht om te achterhalen of de dysfunctie van het spreekwoordelijke dorp inderdaad verband houdt met psychosociale jeugdproblematiek, en streeft ernaar om aanknopingspunten te vinden voor het bevorderen van het welzijn van jongeren in die wijken die het meest kwetsbaar zijn.

Daarvoor zal dit onderzoek zich richten op de Groningse stadsbuurt Paddepoel-Zuid, waar zowel sprake is van kwetsbare buurtkenmerken als concentraties van psychosociale jeugdproblematiek. Paddepoel is een uitbreidingswijk van de stad Groningen die samen met de wijken Selwerd en Vinkhuizen in de jaren '60 en begin jaren '70 in hoog tempo moest worden gebouwd om een oplossing te bieden voor de naoorlogse woningnood. Nu, zo'n 50 jaar later, is de wijk onderhevig geweest aan een aantal rondes wijkvernieuwing. De budgetten die worden uitgetrokken vanuit de landelijke overheid om Paddepoel en naburige wijken aan te pakken en recente mediaverschijningen van de wijk onderstrepen de hardnekkigheid en de structurele aard van de sociale problematiek in Paddepoel.<sup>1</sup> Ook een recent onderzoek naar criminele ondermijning in Paddepoel schetst een klassiek beeld van een kwetsbare omgeving (Wolsink et al., 2023).

Tegen deze achtergrond zal kwantitatief onderzoek worden gedaan naar de rol van sociale cohesie en informele sociale controle<sup>2</sup> in het verband tussen kwetsbare buurten en psychosociale jeugdproblematiek, aan de hand van de sociale desorganisatietheorie van Shaw & McKay (1968). Deze bewezen theorie is succesvol ingezet voor het verklaren van allerlei wijkverschijnselen omtrent jeugddelinquentie (Chilman et al., 1999; Duncan & Brooks-Gunn, 2000, 1997), maar nog maar weinig in het onderzoek naar psychosociale problematiek. De verwachting is dat concentraties van lage inkomens, culturele diversiteit, gebroken gezinnen, en verhuisverloop afbreuk doen aan de beschermende en controlerende werking van de buurt, waardoor er meer psychosociale problematiek ontstaat. In deze context heeft “meer” een dubbele betekenis: enerzijds zal worden onderzocht of de buurt een ongunstig effect heeft op de zwaarte en complexiteit van psychosociale problematiek onder jongeren, anderzijds zal worden onderzocht of de buurt van invloed is op de prevalentie van psychosociale jeugdproblemen. Het vernieuwende daarbij is dat het onderzoek zicht richt op een geografisch gedetailleerd schaalniveau. Daar waar de meeste onderzoeken naar wijkeffecten gebruikmaken van data op buurt- of wijkniveau, heeft dit onderzoek toegang tot data op postcodeniveau<sup>3</sup>: hiermee kan de invloed van burens en bewoners van eenzelfde straat of omliggende huizenblokken op psychosociale jeugdproblematiek worden onderzocht.

---

<sup>1</sup> Paddepoel kwam landelijk in opspraak nadat minderjarige jongeren uit de wijk bewapend verschenen in het televisieprogramma Danny op Straat.

<sup>2</sup> In de literatuur over buurteffecten worden sociale cohesie en informele sociale controle vaak samengevat in één concept: *collective efficacy*. Dit verzamelbegrip zal ook in dit onderzoek worden gehanteerd.

<sup>3</sup> Voor dit onderzoek worden de voorspellende variabelen geoperationaliseerd op het laagst mogelijke ruimtelijke aggregatieniveau, namelijk met gegevens per volledige postcode.

## 2. Theorie

### *2.1 Psychosociale jeugdproblematiek*

Volwassen worden gaat niet vanzelf en opgroeien gaat voor ieder kind gepaard met uitdagingen en problemen, dat is normaal en geeft niet altijd meteen reden tot zorgen: in het continuüm van normale tot zorgwekkende problematiek, ligt die grens daar waar de problematiek het dagelijkse functioneren van het kind belemmert of als de sociale omgeving er hinder van ondervindt. In die gevallen is er sprake van psychosociale jeugdproblematiek. Psychosociale jeugdproblematiek is een verzamelbegrip voor een groot aantal emotionele- en gedragsproblemen onder kinderen en adolescenten. Bijvoorbeeld bij jongeren die vaak neerslachtig of teruggetrokken zijn, moeite hebben zich te concentreren op school, woedeaanvallen hebben of vechten op het schoolplein kan worden gesproken van psychosociale problematiek in het geval dat zij daar zelf onder lijden of als de directe omgeving hier last van heeft (Mervielde et al., 2005). Grofweg kan in de mogelijke soorten van psychosociale problematiek het onderscheid worden gemaakt tussen internaliserend gedrag en externaliserend gedrag (Eisenberg et al., 2001; Muler et al., 2009; Postma, 2008; Zeijl et al., 2005). Internaliserende problemen zijn emotionele problemen die naar binnen gericht zijn, en waar de jongere zelf last van heeft. Hierbij kan bijvoorbeeld worden gedacht aan depressie, angst en paniek. Externaliserende problemen zijn gedragsproblemen die naar buiten gericht zijn, en waar de sociale omgeving als gevolg last van heeft. Hierbij kan bijvoorbeeld worden gedacht aan agressie, vandalisme en crimineel gedrag. Opvallend daarbij is dat internaliserende problematiek meer voorkomt bij meisjes, terwijl externaliserende problematiek meer voorkomt bij jongens (Crijnen et al., 1997; De Looze et al., 2014; Van Berlo et al., 2020; Vollebergh, 2010). Psychosociale problematiek kan verstrekkende gevolgen hebben voor de ontwikkeling en het latere leven van het kind. Zo kunnen deze problemen zorgen voor achterstanden op school en vroegtijdig schoolverlaten, en bovendien een opmaat zijn naar drugsverslaving en ander middelengebruik (Kovacs & Devlin, 1998; Offord & Bennet, 1994). Bovendien vormt met name externaliserend probleemgedrag een risico voor het ontwikkelen van gewelddadige neigingen en crimineel gedrag op latere leeftijd (Betz, 1995; Farrington, 1987; Liu, 2004; Moffitt, 1993). In veel gevallen wordt daarom ter voorkoming van erger vroegtijdig naar passende behandeling gezocht in samenwerking met jeugdhulpinstanties (Hermanns et al., 2005). In Nederland heeft 11 tot 28 procent van de kinderen tussen de 0 en 12 jaar oud psychosociale problemen, afhankelijk van de leeftijdsgroep. De prevalentie voor jongeren tussen de 11 en 16 jaar ligt rond de 16%.

Naast verschillen naar leeftijd en geslacht zijn er andere factoren die samenhangen met verschillen in de prevalentie van jeugdproblematiek. Zo ervaren jongeren in lagere schoolniveaus vaker psychosociale problematiek dan jongeren met een hoger opleidingsniveau; is er vaker sprake van jeugdproblematiek bij kinderen met een migratieachtergrond dan kinderen met ouders die beide in Nederland geboren zijn; scoren jongeren in eenoudergezinnen aanzienlijk minder gunstig dan jongeren die met beide ouders in één huis wonen; en komt psychosociale problematiek vaker voor bij kinderen in minder welvarende gezinnen dan kinderen in gezinnen met een hogere welvaart (Boer et al., 2022; Van Dorsselaer et al., 2007; Zeijl et al., 2005). Tot slot zijn er regionale verschillen in de prevalentie van psychosociale jeugdproblematiek. Zo wordt in wijken met een lagere sociale status meer problematiek verwacht (Batterink et al., 2018; Peeters et al., 2019; Schellingerhout et al., 2020).

## *2.2 Oorzaken van psychosociale jeugdproblematiek*

De omgeving van het kind is een belangrijke factor in het ontstaan van psychosociale problematiek, deze zal later worden besproken. Naast omgevingskenmerken zijn er grofweg nog twee andere soorten kenmerken te onderscheiden die kunnen bijdragen aan het ontstaan van psychosociale jeugdproblematiek: kenmerken van het kind, en kenmerken van de ouders. Kindkenmerken hangen samen met de persoonlijke eigenschappen van het kind zelf. Naast verschillen naar geslacht is de prevalentie van psychosociale problemen hoger bij kinderen met een lagere intelligentie (Mönks & Ypenburg, 2011). Bovendien is er in veel gevallen sprake van genetische aanleg (Schellingerhout et al., 2020).

Psychosociale problematiek kan ook ontstaan door opvoedproblemen bij de ouders van het kind. Gezinskenmerken die een ongunstige invloed hebben op emotionele- en gedragsproblemen bij kinderen zijn bijvoorbeeld gezinssamenstelling, de leeftijd, en het opleidingsniveau van de ouders. Zo is er in eenoudergezinnen en gezinnen met een jonge moeder vaker sprake van opvoedproblemen en psychosociale problematiek bij kinderen (Bot et al., 2013; Ras et al., 2014) en hebben kinderen uit gezinnen met laagopgeleide ouders vaker psychosociale problemen (Bucx & De Roos, 2011). Bovendien is er bij kinderen met een genetische aanleg voor problematiek in veel gevallen sprake van erfelijkheid van de ouders, waardoor kinderen met psychosociale problemen vaak ook ouders hebben met psychosociale problemen (De Clercq & Van Vreckhem, 2008). Daarnaast is er vaker psychosociale problematiek bij kinderen die opgroeien in armoede, wanneer er sprake is van gezinstrauma zoals echtscheiding of overlijden, en wanneer de ouders van het kind verslavingsproblemen hebben (Einde-Bus et al., 2010; Schellingerhout, et al., 2020).



Naast kenmerken van het kind en de ouders kunnen risicofactoren in de omgeving van het kind leiden tot psychosociale problemen. Zo hangt de sociale en ruimtelijke status van de wijk waarin een kind opgroeit samen met de prevalentie van emotionele- en gedragsproblemen.<sup>4</sup> Bijvoorbeeld in buurten waar mensen elkaar nauwelijks kennen ontbreekt de beschermende werking van buren die een oogje in het zeil houden en is het risico op het ontstaan van problemen groter. Hoewel een sociaal netwerk in dat opzicht wenselijk is, kan het hebben van ‘foute vrienden’ juist bijdragen aan het ontstaan van problematiek (Bartelink & Verheijden, 2015; Sykes, 2009; Weijters et al., 2007). De samenstelling van de woningvoorraad hangt indirect samen met psychosociale jeugdproblematiek, doordat in wijken met goedkope huizen vaker mensen wonen met een lager gezinsinkomen (Engbersen et al., 2018). In wijken waar historisch gezien voor een langdurige periode sprake is geweest van achterstanden en een algeheel gevoel van uitzichtloosheid heerst, met veel armoede, veel mensen die afhankelijk zijn van sociale voorzieningen, veel ondermijnende criminaliteit, veel verschillende culturen en gemiddeld korte woonduren is de prevalentie van emotionele- en gedragsproblemen onder jongeren hoger (Schneiders et al., 2003). De volgende paragraaf is geweid aan de verklaringen voor het verband tussen kwetsbare wijken en psychosociale jeugdproblematiek, hierin zal de invloed van omgevingskenmerken uitgebreider worden besproken.

---

<sup>4</sup> Sociale status heeft betrekking op het aanwezige sociale kapitaal in een wijk, dat hoger is naarmate men elkaar beter kent, zich meer met elkaar kan identificeren, en er gedeelde normen en waarden zijn. Ruimtelijke status heeft betrekking op het aanwezige materialistische kapitaal in de ruimtelijke dimensie van een wijk, dat hoger is naarmate huizen meer waard zijn en de openbare ruimte in betere staat verkeert.

### 2.3 Het verband tussen kwetsbare wijken en psychosociale jeugdproblematiek

Dat het uitmaakt in welke wijk je woont en opgroeit werd vanaf halverwege de vorige eeuw in toenemende mate onderkend (Burgess, 1925; Wilson, 1987). Achterstanden in wijken zoals geconcentreerde armoede worden sinds lange tijd in verband gebracht met nadelige uitkomsten voor kinderen en adolescenten zoals psychosociale problematiek en delinquent gedrag (Chilman et al., 1999; Duncan & Brooks-Gunn, 2000, 1997). De vermeende rol van de wijk in dit verband, een *wijkeffect*, heeft om deze reden een prominente plek ingenomen in de sociale wetenschap. De verwachting is dat het voor kinderwelzijn niet direct uitmaakt of buurtgenoten al dan niet arm zijn, maar dat het gevonden verband verklaard kan worden door een verhoud sociaal mechanisme tussen deze samenhangende verschijnselen (Sampson, Morenoff & Earls, 1999). Het basisidee voor de verklaring van dit verband is dat er een ecologische wisselwerking bestaat tussen wijk en bewoner, en dat het gedrag en de ontwikkeling van een kind via de interactie met wijkgenoten blootstaat aan ongunstige invloeden (Bronfenbrenner, 2000), die bij een gebrek aan gemeenschapszin niet worden afgewend door sociale controle en de handhaving van sociale instituties. Andersom geldt dat men in wijken met hechte banden onder bewoners eerder ingrijpt bij afwijkend gedrag, daar functioneert het sociale netwerk als het ware als een beschermende factor tegen jeugdproblematiek (Bursik & Grasmick, 1993; Sampson & Groves, 1989; Wikstrom & Loeber, 2000). Bijvoorbeeld, als ouders in de wijk elkaar kennen is het aannemelijker dat zij elkaar zullen alarmeren wanneer zij zorgwekkend gedrag bij elkaars kinderen signaleren (Coleman, 1990; Furstenberg et al., 1999). Andersom scheidt een gebrek aan sociale controle een situatie waarin afwijkend gedrag ongecorrigeerd blijft.

Een belangrijke theorie die een wijkeffect op individuele uitkomsten en de sociale mechanismen daarachter inzichtelijk maakt is de sociale desorganisatietheorie van Shaw & McKay (1942). Zij identificeerden een aantal wijkkenmerken die indirect leiden tot jeugdcriminaliteit en – zoals uit latere onderzoeken blijkt – ook andere nadelige uitkomsten kan hebben zoals psychosociale jeugdproblematiek (Brooks-Gunn et al., 1993; Elliot et al., 1996; Mayer & Jencks, 1989; Sampson, 2001; Xue et al., 2005). Volgens Shaw & McKay ontstaat door een lage socio-economische status, hoge culturele heterogeniteit, veel eenoudergezinnen en een hoge verhuismobiliteit onder wijkbewoners een onvermogen om zich onderling te organiseren. Zo blijkt dat men in wijken met een lage economische welvaart en veel eenoudergezinnen over het algemeen minder sociale banden met elkaar heeft en bovendien meer wantrouwend is naar elkaar: de verwachting is dat dit komt doordat men minder tijd en geld overhoudt voor recreatieve activiteiten zoals sport en andere (wijk)voorzieningen, en

vanwege hogere werkloosheid ook in mindere mate dezelfde vrijetijdsuren deelt (Bellair, 1997; Bradley & Corwyn, 2002; Ross, et al., 2001). Naast een lage socio-economische status en een hoge concentratie van alleenstaande ouders, hebben culturele diversiteit en een hoog bewonersverloop een nadelig effect op de cohesie in een wijk. Dit komt doordat connecties minder snel ontstaan door verschillen in normen en waarden, en verschillen in taal die de communicatie bemoeilijken (Rovers, 1997). Daarnaast blijft een deel van de bewoners vanwege hun korte verblijfsduur relatief anoniem. In dergelijke wijken waar sociale samenhang ontbreekt omdat sociale netwerken minder goed kunnen vormen, blijft onderlinge sociale controle dientengevolge uit en ontstaat een omgeving waarin afwijkend en delinquent gedrag ongehinderd kan plaatsvinden (Kornhauser, 1979).

In theorie zijn de wijken met meer sociale cohesie, een sterker sociaal netwerk en meer sociale controle dus beter in staat om zorgwekkend gedrag bij jeugd te signaleren en te corrigeren, waarbij het kan gaan om praktische vormen van sociaal interveniëren zoals het aanspreken van jeugd wanneer zij wangedrag vertonen (Sampson & Groves, 1989; Skogan, 1986). Daarentegen doen de vier eerder aangehaalde dimensies van wijkkarakteristieken afbreuk aan sociale instituties die nodig zijn om de orde in de wijk te bewaren, waardoor naar verwachting meer psychosociale problematiek ontstaat. Het vermogen van een wijkgemeenschap om een omgeving te organiseren waarin kinderen onder het toezicht van betrokken burens op een gezonde en veilige manier worden grootgebracht kan samengevat worden in het begrip *collective efficacy* (Morenoff, Sampson & Raudenbush, 2001; Sampson, Morenoff & Earls, 1999). Dit leidt tot de volgende onderzoeksvraag:

“Wat is de rol van *collective efficacy* in het verband tussen kwetsbare buurten en psychosociale jeugdproblematiek?”

## 2.4 Hypotheses

Hypothese 1a, b, c, d – Een hogere concentratie van de vier kwetsbaarheidskenmerken leidt tot minder collective efficacy in de wijk:

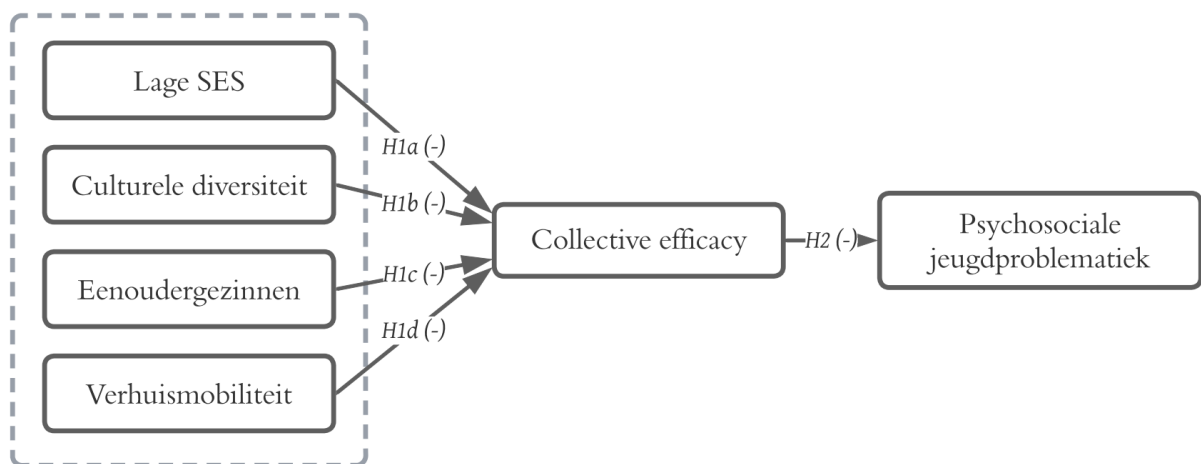
Hypothese 1a – Hoe lager de sociaaleconomische status in de buurt, des te lager is de collective efficacy.

Hypothese 1b – Des te meer culturele heterogeniteit in de buurt, des te lager is de collective efficacy.

Hypothese 1c – Naarmate er meer eenoudergezinnen in de buurt zijn, is de collective efficacy lager.

Hypothese 1d – Hoe hoger de verhuismobiliteit in de buurt, hoe lager de collective efficacy.

Hypothese 2 – In wijken met minder collective efficacy, is sprake van meer psychosociale jeugdproblematiek.



Figuur 1 - Verwacht verband tussen de achterstandskennmerken, collective efficacy, en psychosociale jeugdproblematiek.

## 3. Methode

### 3.1 Databronnen

Voor dit onderzoek zal gebruik worden gemaakt van verschillende soorten data van de (lokale) overheid. Voor de afhankelijke variabele psychosociale jeugdproblematiek is gebruik gemaakt van individuele jeugdzorgindicaties. Van de 1.850 jongeren tot 25 jaar<sup>5</sup> die woonachtig zijn in Paddepoel-Zuid hebben 116 jongeren één of meerdere jeugdzorgindicaties, afgegeven door stichting WIJ in het jaar 2022.<sup>6</sup> De mediërende variabele collective efficacy is een construct opgebouwd uit verschillende items uit de leefbaarheidsenquête van de Gemeente Groningen, ook de variabele verhuismobiliteit is afgeleid uit een item van de leefbaarheidsenquête.

De leefbaarheidsenquête wordt iedere twee jaar ingevuld door ongeveer 20.000 mensen in de gemeente Groningen. Voor dit onderzoek zal gebruik worden gemaakt van de enquête van 2020, die door 387 bewoners van Paddepoel-Zuid is ingevuld. De variabelen socio-economische status, culturele diversiteit en eenoudergezinnen zijn afgeleid uit kerncijfers van het Centraal Bureau voor de Statistiek over respectievelijk inkomenscategorieën, migratieachtergrond en gezinssamenstelling uit het jaar 2020.

### 3.3 Operationalisatie

Voor het operationaliseren van psychosociale jeugdproblematiek wordt gekeken naar de jeugdzorgindicaties in de wijk Paddepoel-Zuid, omdat aan een jeugdzorgindicatie in ieder geval een bepaalde vorm en mate van psychosociale problematiek ten grondslag ligt. In veel gevallen zijn er meerdere jeugdzorgindicaties per unieke cliënt. Om een idee te krijgen van de zwaarte van de psychosociale problematiek zullen de totale kosten van de jeugdzorg per cliënt in beeld worden gebracht over het jaar 2022. De kosten van de jeugdzorg zijn veelzeggend voor de zwaarte van de psychosociale problematiek omdat de kosten stijgen naarmate de problematiek complexer is en er meerdere professionals bij een behandeltraject betrokken zijn, zo blijkt uit een actueel tarievenoverzicht van de Regionale Inkooporganisatie Groninger Gemeenten (RIGG, 2024). Hierin is zichtbaar dat lichte vormen van ambulante begeleiding die een lagere tijdsinspanning en personele inzet vergen minder kosten in tegenstelling tot zwaardere vormen van jeugdzorg zoals verblijf en opname.

---

<sup>5</sup> Het Centraal Bureau voor de Statistiek gebruikt de term 'jongeren' voor alle mensen van 0 tot 25 jaar

<sup>6</sup> De 116 jongeren met één of meerdere jeugdzorgindicaties zijn woonachtig in 49 van de in totaal 100 postcodegebieden waaruit Paddepoel-Zuid bestaat.

Zoals bij veel variabelen die over geld gaan, is er ook in dit geval sprake van een zeer rechtsscheve verdeling zoals nader zal worden besproken in hoofdstuk 4. Ter verbetering van de lineariteit tussen de responsvariabele en de predictoren, en derhalve ter vergroting van de validiteit van het onderzoek, is ervoor gekozen om de verdeling van de afhankelijke variabele psychosociale jeugdproblematiek meer symmetrisch te maken door een logtransformatie toe te passen. Hiervoor wordt de Briggsse logaritme gebruikt met grondtal 10, dit betekent een vertienvoudiging van de psychosociale jeugdproblematiek voor iedere eenheid stijging van de afhankelijke variabele ( $\log_{10}(x_i)$ ).<sup>7</sup>

De zwaarte en complexiteit van de psychosociale jeugdproblematiek wordt uitgedrukt als de totale jeugdzorgkosten per cliënt. Dit betreft een uitkomstmaat op persoonsniveau die de gelegenheid geeft om gedetailleerde en nauwkeurige analyses uit te voeren. Echter, data op individueel niveau is slechts voor geïndiceerde jongeren in beeld waardoor het onderzoek naar het effect van de buurt op individuele uitkomsten bij jongeren is beperkt tot het voorspellen van de zwaarte van psychosociale jeugdproblematiek, gegeven dat daar sprake van is.

Om ook onderzoek te doen naar het effect van de buurt op jongeren in het algemeen zullen daarom aanvullende analyses worden gedaan, waarbij psychosociale jeugdproblematiek wordt uitgedrukt als het aandeel jeugdzorgcliënten op het totale aantal jongeren per postcodegebied.<sup>8</sup> Dit betreft een uitkomstmaat op postcodeniveau, die de gelegenheid geeft om ook uitspraken te doen over het effect van de buurt op de prevalentie van psychosociale jeugdproblematiek omdat ook jongeren zonder jeugdzorgindicatie zijn betrokken. Vanwege rechtsscheefheid is ook deze variabele log-getransformeerd ( $\log_{10}(x_i+1)$ ).

Gedurende het onderzoek zal onderscheid worden gemaakt tussen individuele uitkomsten op persoonsniveau, en de geaggregeerde uitkomsten op postcodeniveau die worden onderzocht in de aanvullende analyse. De aanvullende analyse is deels opgenomen in de bijlagen, waarnaar in de tekst zal worden verwezen.

---

<sup>7</sup> In de dataset is sprake van één case waarbij de jeugdzorgkosten gelijk zijn aan €0,-. Vanwege de logtransformatie vormt deze nulwaarde een extreme uitbijter met grovere schendingen van de toetsassumpties en een aanzienlijke invloed op de conclusies tot gevolg. Om een verkeerd algemeen beeld van de effecten en een nadelige weerslag op de kwaliteit van het model te voorkomen is deze case daarom uit analyses gelaten. Bijlage 1 geeft een overzicht van de analyses en een modelinspectie waarin deze waarde wel is meegenomen ( $\log_{10}(x_i+1)$ ).

<sup>8</sup> De afhankelijke variabele psychosociale jeugdproblematiek wordt voor de aanvullende analyse uitgedrukt als het aandeel jongeren met ten minste één jeugdzorgindicatie van het totaal aantal jongeren per postcodegebied.

Collective efficacy is een veelgebruikt concept in de literatuur over buurteffecten, bestaande uit twee delen: een deel dat meet in hoeverre het waarschijnlijk is dat burens elkaar steunen in tijden van nood (sociale cohesie), en een deel dat meet in hoeverre het waarschijnlijk is dat buurtgenoten voor elkaar opkomen (sociale controle). Afgeleid van de 10-itemschaal die in 1997 door Robert Sampson en zijn collega's is ontwikkeld om het concept collective efficacy te meten, zal in dit onderzoek een indexvariabele worden samengesteld van 10 stellingen uit de leefbaarheidsenquête die zowel sociale cohesie als sociale controle operationaliseren in één construct (Hipp, 2016; Sampson, Raudenbush & Earls, 1997):

- Ik voel me medeverantwoordelijk voor mijn buurt
- Buurtgenoten houden een oogje in het zeil bij afwezigheid
- Ik heb mij in de afgelopen 12 maanden ingezet voor burens in een zorgwekkende situatie
- Ik kan terugvallen op mijn buurtgenoten
- Contactfrequentie met burens
- Buurtgenoten kennen elkaar nauwelijks
- Buurtgenoten gaan prettig met elkaar om
- Ik woon in een gezellige buurt met veel saamhorigheid
- Ik voel mij thuis bij mijn buurtgenoten
- Ik ben gehecht aan mijn buurt

De eerste vijf stellingen hebben twee antwoordcategorieën zoals ja/nee, eens/oneens, hoog/laag. In de bijbehorende binaire codering wijst een 1 op een positieve bijdrage aan collective efficacy en 0 op een negatief antwoord. De laatste vijf stellingen hebben een Likertschaal met vijf punten (helemaal niet mee eens; niet mee eens; neutraal; mee eens; helemaal mee eens; en een zesde antwoordcategorie 'weet ik niet/geen antwoord'). De schaal wordt zodanig gedraaid, dat een hogere score wijst op een hogere collective efficacy. Vanwege de dichotome aard van de eerste vijf stellingen worden de stellingen met een ordinaal meetniveau getransformeerd tot dezelfde binaire schaal, waarbij de neutrale antwoordoptie wordt meegenomen in de 0-categorie. Op basis van deze stellingen zal een indexvariabele voor collective efficacy worden gemaakt door de uitkomsten van de stellingen te sommeren, waardoor een tienpuntschaal ontstaat waarbij een hogere score wijst op een hogere collective efficacy (Kim & Rabjohn, 1980). Bij veel respondenten is er sprake van missende waarden: voor de verschillende items varieert het aantal missende waarden tussen de 15% en 40%.

Om concessies op de steekproefomvang ten koste van de representativiteit te vermijden, is gezocht naar een geschikte methode om met de missende waarden om te gaan. Uit een eerste analyse is gebleken dat er geen stelselmatige patronen te ontdekken zijn in de missende waarden en dat deze volledig willekeurig ontbreken ( $X^2(460) = 481,109; P = .240$ ).<sup>9</sup> Gekozen is om de missende waarden te vervangen volgens de multiële imputatiemethode, waarbij in vijf iteraties een voorspelling wordt gemaakt van wat de missende waarden zouden kunnen zijn (McKnight et al., 2007; Schafer, 1999).<sup>10</sup> In een nieuwe dataset met daarin de originele data en de vijf imputaties wordt een indexvariabele gemaakt voor collective efficacy (*Cronbach's*  $\alpha = .758$ ). Vervolgens wordt uit de oorspronkelijke data en de vijf schattingen voor ieder postcodegebied een gepoolde gemiddelde score voor collective efficacy afgeleid, op voorwaarde dat de vragenlijst binnen een postcodegebied door minstens drie respondenten is ingevuld.

Naast de operationalisatie van collective efficacy, wordt de enquête leefbaarheid gebruikt om een indruk te krijgen van de verhuismobiliteit van bewoners. Hierbij wordt een schatting gemaakt van het potentiële bewonersverloop per postcodegebied, op basis van een vraag naar de verhuiscens van bewoners:

*Heeft u op dit moment de wens om te verhuizen? Zo ja: waar naartoe?*

- Nee
- Ja, binnen mijn eigen buurt
- Ja, binnen de gemeente
- Ja, buiten de gemeente
- Ja, maar ik weet nog niet waar naartoe
- Weet ik niet/geen antwoord

De verwachting daarbij is dat daar waar de wens groter is, men sneller zal verhuizen dan in gebieden waar mensen goed op hun plek zitten, en dat derhalve een grotere in- en uitstroom van buurtbewoners ontstaat. Daartoe is de variabele getransformeerd naar een binaire codering waarbij de eerste twee antwoorden erop wijzen dat men niet de intentie heeft om de buurt te verlaten (Nee = 0), en de daaropvolgende drie antwoordmogelijkheden laten zien dat men liever zou verhuizen (Ja = 1). De zesde antwoordoptie is gecodeerd als missende waarde, een categorie waartoe 15% van de cases kan worden gerekend.

---

<sup>9</sup> Voor deze analyse is gebruikgemaakt van Little's MCAR (Missing Completely At Random) test.

<sup>10</sup> Voor de multiële imputatie is gebruikgemaakt van de Markov Chain Monte Carlo methode.



Omwille van de steekproefomvang zijn de missende waarden voor deze variabele samen met de items voor collective efficacy geïmputeerd middels dezelfde methode. Verhuismobiliteit is vervolgens berekend als de proportie bewoners met een verhuiswens op het totaal van respondenten in een postcodegebied, op voorwaarde van hetzelfde minimum aantal respondenten als bij collective efficacy ( $N \geq 3$ ).

Sociaaleconomische status wordt afgeleid van het inkomen per postcodegebied. Hiervoor wordt gekeken naar de inkomenscategorieën waarin de postcodegebieden vallen, gebaseerd op het mediane bruto jaarinkomen van de huishoudens die daar woonachtig zijn:

- Laag: mediaan inkomen beneden €16.800
- Laag tot onder midden: mediaan inkomen beneden €22.200
- Onder midden: mediaan inkomen tussen €16.800 Euro en €22.200
- Onder midden tot midden: mediaan inkomen tussen €16.800 en €28.400
- Midden: mediaan inkomen tussen €22.200 en €28.400
- Midden tot boven midden: mediaan inkomen tussen €22.200 en €36.600
- Boven midden: mediaan inkomen tussen €28.400 en €36.600
- Boven midden tot hoog: mediaan inkomen €28.400 en hoger
- Hoog: mediaan inkomen €36.600 en hoger

Het inkomen per postcodegebied is verdeeld in kwintielen (Laag: 00-20, Onder midden: 20-40, Midden: 40-60, Boven midden: 60-80, Hoog: 80-100). Wanneer de kwintielgrens wordt overschreden door het 99% betrouwbaarheidsinterval van het mediane inkomen wordt deze gerekend tot een van de vier overlappende tussencategorieën (Laag tot onder midden: 00-40, Onder midden tot midden: 20-60, Midden tot boven midden: 40-80, Boven midden tot hoog: 60-100). Deze inkomenscategorieën vormen samen een negenpuntschaal waarbij een hogere score wijst op een hoger mediaan inkomen in het postcodegebied.

Om culturele heterogeniteit te operationaliseren wordt gekeken naar de migratieachtergrond van de bewoners per postcodegebied. Er zijn drie categorieën te onderscheiden waar een buurtbewoner toe gerekend kan worden:

- Nederlands: persoon met Nederland als geboorteland
- Westers: persoon met als migratieachtergrond een van de landen in Europa (exclusief Turkije), Noord-Amerika, Oceanië, Indonesië of Japan.
- Niet-westers: persoon met als migratieachtergrond een van de landen in Afrika, Latijns-Amerika, Azië (exclusief Indonesië en Japan) of Turkije.

Een veelgebruikte maat voor het meten van concentraties is de Herfindahl-Hirschman index. Deze index heeft een schaal van 0 tot 100 (%) waarbij een hogere score wijst op de concentratie van één culturele groep en een lagere score op meer diversiteit. Van de categorieën worden de proporties berekend door het aantal inwoners per categorie af te zetten tegen het totaal aantal inwoners per postcodegebied. Om de index te berekenen worden vervolgens de drie proporties gekwadrateerd en bij elkaar opgeteld ( $\pi_{\text{Nederlands}}^2 + \pi_{\text{Nietwesters}}^2 + \pi_{\text{Westers}}^2$ ).

Het aantal gebroken gezinnen wordt geoperationaliseerd op basis van het aantal huishoudens met een gezinssamenstelling van één ouder en kind(eren). Voor deze variabele is een proportie berekend van het aantal eenoudergezinnen op het totaal aan huishoudens per postcodegebied. Zowel de proportie voor de variabele verhuismobiliteit als de proportie eenoudergezinnen worden berekend als geheel getal tussen de 0 en de 100. Tot slot worden de leeftijd (uitgedrukt in jaren) en het geslacht (0 = vrouw; 1 = man) van de jongeren in de modelschatting meegenomen als controlevariabelen.

Vanwege de voorwaarde voor een minimum van drie respondenten op de enquête met vragen over collective efficacy per postcodegebied en door de logtransformatie van de oorspronkelijke variabele psychosociale jeugdproblematiek, blijven van de 116 cases in de dataset 54 cases over voor analyse. In de aanvullende analyse waarin ook wordt gekeken naar de postcodegebieden waarin geen psychosociale jeugdproblematiek voorkomt, worden de 47 postcodegebieden onderzocht die voldoen aan de minimale respons op de enquête. Voor een uitgebreidere weergave van de respons en het aantal jeugdzorgcliënten per postcodegebied is in bijlage 2 een overzicht opgenomen.

### 3.4 Analyse

Allereerst zal een univariate analyse worden gedaan, waarbij de verdeling van alle afzonderlijke variabelen wordt onderzocht. Vervolgens zal een bivariate analyse worden uitgevoerd, waarbij de onderlinge samenhang tussen alle variabelen wordt onderzocht. Vervolgens zullen meerdere modellen worden geschat om de hypothesen op twee manieren te toetsen. Voor de modellen waarin individuele jeugdproblematiek wordt geschat met variabelen die op postcodeniveau zijn geoperationaliseerd, is vanwege de tweelaagse hiërarchie in de data aanvankelijk gekozen om een multilevel analyse te gebruiken om rekening te houden met een mogelijke clustering van psychosociale problematiek in bepaalde delen van de wijk en te corrigeren voor mogelijke afhankelijkheid tussen de individuen vanwege invloeden uit hun gedeelde buurtomgeving. Echter, uit de berekening van de intraclass correlatiecoëfficiënt blijkt dat daar geen sprake van is ( $ICC = -.039; p = .585$ ). De zwakke coëfficiënt laat zien dat er nauwelijks verschil zit tussen de variantie binnen de postcodegebieden en de variantie tussen de postcodegebieden, de negatieve richting wijst erop dat de binnengroepsvariantie zelfs iets groter is dan de tussengroepsvariantie, op basis waarvan geconcludeerd kan worden dat het postcodegebied waarin de individuen woonachtig zijn op zichzelf geen invloed heeft op jeugdproblematiek. Voor de aanvullende modellen waarin de prevalentie van psychosociale jeugdproblematiek op postcodeniveau wordt geschat, is geen sprake van een dergelijk hiërarchisch verschil in de data.<sup>11</sup> Om de onderzoeksvraag te beantwoorden is daarom gekozen om een lineaire regressieanalyse uit te voeren. Voor het toetsen van de hypothesen worden de volgende modellen geschat:

Model 1 – Een schatting van collective efficacy (Y) uit de voorspellende variabele sociaaleconomische status ( $X_1$ ).

Model 2 – Een schatting van collective efficacy (Y) uit de voorspellende variabele culturele diversiteit ( $X_2$ ).

Model 3 – Een schatting van collective efficacy (Y) uit de voorspellende variabele eenoudergezinnen ( $X_3$ ).

Model 4 – Een schatting van collective efficacy (Y) uit de voorspellende variabele verhuismobiliteit ( $X_4$ ).

---

<sup>11</sup> Zowel de afhankelijke variabele als de voorspellende variabelen zijn in de aanvullende analyse op postcodeniveau geoperationaliseerd.

Model 5 – Een schatting van collective efficacy (Y) uit de voorspellende variabelen sociaaleconomische status ( $X_1$ ), culturele diversiteit ( $X_2$ ), eenoudergezinnen ( $X_3$ ) en verhuismobiliteit ( $X_4$ ).

Hypothese 1a, b, c, d – ‘Een hogere concentratie van de vier kwetsbaarheidskenmerken leidt tot minder collective efficacy in de wijk’, zal worden getoetst aan de hand van Model 5. De enkelvoudige modellen voorafgaand aan het multi-pele model worden geschat om de effecten van de afzonderlijke kwetsbaarheidskenmerken op collective efficacy te bestuderen.

Model 6 – Een schatting van psychosociale jeugdproblematiek (Y) uit de controlevariabelen leeftijd ( $C_1$ ) en geslacht ( $C_2$ ).

Model 7 – Een schatting van psychosociale jeugdproblematiek (Y) uit de voorspellende variabelen sociaaleconomische status ( $X_1$ ), culturele diversiteit ( $X_2$ ), eenoudergezinnen ( $X_3$ ) en verhuismobiliteit ( $X_4$ ), gecontroleerd voor de variabelen leeftijd ( $C_1$ ) en geslacht ( $C_2$ ).

Model 8 – Een schatting van psychosociale jeugdproblematiek (Y) uit de voorspellende variabelen sociaaleconomische status ( $X_1$ ), culturele diversiteit ( $X_2$ ), eenoudergezinnen ( $X_3$ ), verhuismobiliteit ( $X_4$ ) en collective efficacy ( $X_5$ ), gecontroleerd voor de variabelen leeftijd ( $C_1$ ) en geslacht ( $C_2$ ).

Hypothese 2 – ‘In wijken met minder collective efficacy, is sprake van meer psychosociale jeugdproblematiek’, zal worden getoetst aan de hand van Model 8. In de voorafgaande modellen zijn eerst de controlevariabelen leeftijd en geslacht opgenomen, vervolgens de kwetsbaarheidskenmerken, en tot slot is in het eindmodel collective efficacy toegevoegd.

Om naast het effect van de buurt op de zwaarte van individuele psychosociale problematiek van de jongeren met een jeugdzorgindicatie ook uitspraken te kunnen doen over het effect van de buurt op de prevalentie van psychosociale jeugdproblematiek in het algemeen, zullen alle modellen aanvullend worden geschat voor de geaggregeerde afhankelijke variabele waarbij psychosociale jeugdproblematiek is uitgedrukt als het aandeel jongeren met één of meerdere jeugdzorgindicaties op het totaal aantal jongeren per postcode.<sup>12</sup>

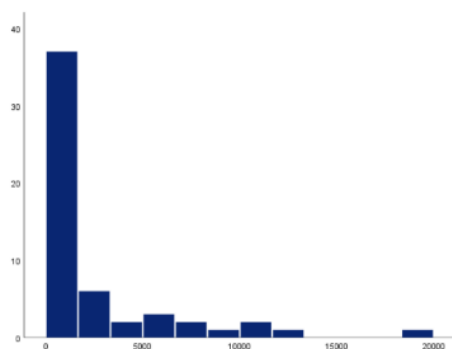
---

<sup>12</sup> De geaggregeerde afhankelijke variabele wordt aanvullend geschat volgens hetzelfde schema van opeenvolgende modellen, met uitzondering van model 6: daarbij zijn de controlevariabelen op individueel niveau geoperationaliseerd.

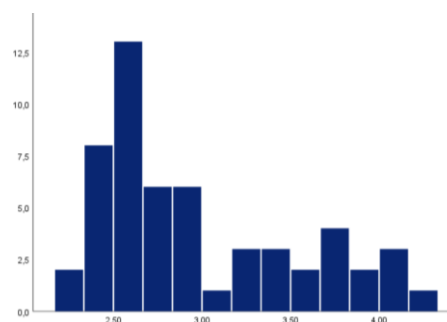
## 4. Resultaten

### 4.1 Univariate analyse

In tabel 1 worden de beschrijvende statistieken van alle variabelen weergegeven.<sup>13</sup> Uit dit overzicht blijkt ten eerste dat de afhankelijke variabele psychosociale jeugdproblematiek – geoperationaliseerd met de jeugdzorgkosten per cliënt – een zeer rechtsscheve verdeling kent. De jeugdzorgkosten bedragen gemiddeld €2432.50,- per cliënt met een relatief grote standaarddeviatie van €3899.20,-. Bovendien is het gemiddelde hoger dan alle kwartielen, wat erop wijst dat de meeste cliënten aan het begin van de verdeling zijn geclusterd en het gemiddelde sterk wordt beïnvloed door enkele uitzonderlijke gevallen richting het maximum. Gekeken naar het histogram van deze variabele weergegeven in figuur 2, wordt dit beeld bevestigd.<sup>14</sup> Om deze reden is zoals besproken in de methode gekozen om een logtransformatie toe te passen om de scheefheid te verminderen. In tabel 1 is te zien dat het rekenkundig gemiddelde en de mediaan dicht bij elkaar liggen en er sprake is van minder variabiliteit dan bij de oorspronkelijke variabele. Uit de vergelijkbaarheid van de centrummaten en de lagere standaarddeviatie blijkt dat de nieuwe, log-getransformeerde, variabele psychosociale jeugdproblematiek meer symmetrisch is verdeeld dan de oorspronkelijke variabele ( $\bar{Y} = 2,9$ ;  $S = 0,7$ ). Aan het histogram in figuur 3 is te zien dat er desondanks nog wel sprake is van een zekere scheefheid.



Figuur 2 - Histogram psychosociale jeugdproblematiek (N=54)



Figuur 3 - Histogram psychosociale jeugdproblematiek ( $\log_{10}$ ) (N=54)

<sup>13</sup> Een tabel met de beschrijvende statistieken van de aanvullende analyse is opgenomen in bijlage 3.

<sup>14</sup> Een overzicht van de histogrammen en PP-plots van alle variabelen is opgenomen in bijlage 4.

De variabele collective efficacy is bij benadering normaal, klokvormig verdeeld ( $\bar{Y} = 5,7$ ;  $S = 1,4$ ). Sociaaleconomische status daarentegen kent een rechtsscheve verdeling waarbij de meeste postcodegebieden zich bevinden rond de tweede mediane inkomenscategorie, maar het gemiddelde hoger uitvalt vanwege enkele gebieden met een hoger mediaan inkomen ( $\bar{Y} = 2,7$ ;  $S = 1,5$ ). De variabele culturele diversiteit heeft een vrij platte verdeling met meerdere toppen ( $\bar{Y} = 56,1$ ;  $S = 15,0$ ). Dat de proportie eenoudergezinnen in de meeste postcodegebieden overwegend laag is blijkt uit de rechtsscheve verdeling van deze variabele ( $\bar{Y} = 11,4$ ;  $S = 9,7$ ), ditzelfde geldt voor de proportie bewoners met een verhuishwens met betrekking tot de variabele verhuismobiliteit ( $\bar{Y} = 19,5$ ;  $S = 19,9$ ). De gemiddelde leeftijd van de jongeren in de steekproef is 10,6 jaar ( $S = 4,0$ ) en het aandeel jongens is iets groter dan het aandeel meisjes (respectievelijk 58% en 42%).

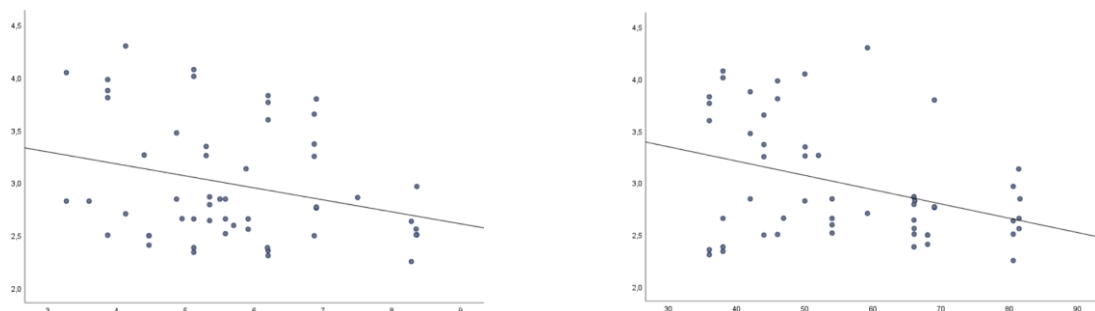
Tabel 1 – Beschrijvende statistieken ( $N = 54$ )

	Gemiddelde (SD)	Minimum	Q1	Q2	Q3	Maximum
Psychosociale Jeugdproblematiek	2477,6 3921,3	178,0	319,7	644,0	2328,9	19887,0
Psychosociale Jeugdproblematiek (log10)	3,0 0,6	2,3	2,5	2,8	3,4	4,3
Collective Efficacy	5,7 1,4	3,3	4,9	5,5	6,9	8,4
Sociaaleconomische Status	2,7 1,5	1,0	2,0	2,0	4,0	6,0
Culturele Diversiteit	56,1 15,1	36,0	44,0	54,0	68,0	82,0
Eenoudergezinnen	11,6 9,6	0,0	0,0	11,1	20,0	33,0
Verhuismobiliteit	19,5 20,0	0,0	0,0	18,3	33,3	67,0
Leeftijd	10,6 4,0	3,0	9,0	11,0	14,0	18,0
Geslacht (%)						
Vrouw (0)	42%					
Man (1)	58%					

\*Bij de variabele geslacht is de frequentieverdeling vermeld in percentages

#### 4.2 Bivariate analyse

In tabel 2 wordt de onderlinge samenhang tussen alle variabelen weergegeven in correlatiecoëfficiënten.<sup>15</sup> In lijn met de verwachtingen is er een negatieve samenhang tussen psychosociale jeugdproblematiek en collective efficacy: hoe meer collective efficacy, hoe minder psychosociale jeugdproblematiek en andersom ( $r = -0,277$ ;  $p < .05$ ). Ook de kwetsbaarheidskenmerken culturele diversiteit en sociaaleconomische status correleren afzonderlijk gezien negatief met psychosociale jeugdproblematiek: een hogere concentratie van één cultuur gaat gepaard met minder problematiek en omgekeerd ( $r = -0,366$ ;  $p < .01$ ). De relatie tussen psychosociale jeugdproblematiek en sociaaleconomische status is vergelijkbaar maar niet significant. Ook de correlaties tussen de afhankelijke variabele en de andere buurtfactoren – eenoudergezinnen en verhuismobiliteit – zijn zoals verwacht positief, hoewel zwak en niet significant. Verder blijkt er nauwelijks samenhang te zijn met de controlevariabelen leeftijd en geslacht. De negatieve samenhang van collective efficacy en culturele diversiteit met psychosociale jeugdproblematiek is terug te zien in de dalende lijnen in figuur 4.



Figuur 4 (a, b) - Spreidingsdiagrammen collective efficacy (a) en culturele diversiteit (b) met afhankelijke variabele ( $N = 54$ )

De variabele collective efficacy vertoont een positieve correlatie met sociaaleconomische status: naarmate de sociaaleconomische status stijgt, neemt ook de collective efficacy toe en andersom ( $r = 0,309$ ;  $p < .05$ ). Een soortgelijk verband is te zien tussen collective efficacy en culturele diversiteit: hoe hoger de concentratie van één culturele groep, hoe groter de collective efficacy en omgekeerd ( $r = 0,362$ ;  $p < .01$ ). Daarnaast bestaat er een aanzienlijke negatieve samenhang tussen verhuismobiliteit en collective efficacy: wanneer verhuismobiliteit met een standaarddeviatie stijgt, daalt de collective efficacy met 0,425 standaarddeviatie en andersom ( $r = -0,425$ ;  $p < .01$ ). Uit de coëfficiënten in tabel 2 blijkt verder dat de voorspellende variabelen sociaaleconomische status en culturele diversiteit ( $r = 0,573$ ;  $p < .01$ ), sociaaleconomische status en eenoudergezinnen ( $r = -0,578$ ;  $p < .01$ ), en eenoudergezinnen en verhuismobiliteit ( $r = 0,351$ ;  $p < .01$ ) onderling sterk met elkaar correleren.

<sup>15</sup> Een tabel met de bivariate statistieken van de aanvullende analyse is opgenomen in bijlage 3.

Tabel 2 – Correlatiecoëfficiënten ( $N = 54$ )

	1	2	3	4	5	6	7	8
1 Psychosociale Jeugdproblematiek ( $\log_{10}$ )		-0,277*	-0,237	-0,366**	0,144	0,001	-0,078	0,032
2 Collective Efficacy			0,309*	0,362**	-0,137	-0,425**	0,039	0,089
3 Sociaaleconomische Status				0,573**	-0,578**	-0,296*	0,003	-0,134
4 Culturele Diversiteit					-0,204	-0,183	-0,002	-0,008
5 Eenoudergezinnen						0,351**	0,031	0,132
6 Verhuismobiliteit							0,064	-0,090
7 Leeftijd								0,015
8 Geslacht								

\*Correlatie is significant bij een tweezijdig niveau lager dan 0.05 ( $p < .05$ )

\*\*Correlatie is significant bij een tweezijdig niveau lager dan 0.01 ( $p < .01$ )



### 4.3 Hoofdanalyse

#### *Modelfit*

Om de fit van de verschillende modellen te beoordelen, zullen de verklaarde variantie en bijbehorende F-toets worden geïnterpreteerd. In dit hoofdstuk worden de belangrijkste bevindingen besproken; een uitgebreidere bespreking van de modelfit is te vinden in bijlage 5. Tabel 3 toont de resultaten van de lineaire regressie met collective efficacy als afhankelijke variabele, bestaande uit de modellen 1 tot en met 5. Model 5, waarin collective efficacy wordt geschat uit de vier buurtkenmerken gezamenlijk, heeft een voorspelkracht van 21,7% verklaarde variantie ( $R^2_a = 0,217$ ). Dit is een significant verschil ten opzichte van het lege model zonder deze voorspellende variabelen ( $R^2 = 0,275$ ;  $F(4, 49) = 4,641$ ;  $p = .003$ ). Tabel 4 laat de resultaten zien van de lineaire regressie met de logtransformatie van psychosociale jeugdproblematiek als afhankelijke variabele, bestaande uit de modellen 6 tot en met 8. Hoewel geen van deze multipelen modellen een significant deel van de variantie in de afhankelijke variabele kan verklaren, is het eindmodel met de vier kwetsbaarheidskenmerken en collective efficacy het beste in staat psychosociale jeugdproblematiek te schatten met 7,2% verklaarde variantie ( $R^2_a = 0,072$ ;  $R^2 = 0,195$ ;  $F(1, 46) = 2,328$ ;  $p = .134$ ). Daarentegen past het eindmodel van de aanvullende analyse in tabel 6 met 36,4% verklaarde variantie wel goed bij de data ( $R^2_a = 0,364$ ), hoewel niet gesproken kan worden van een significante verbetering ten opzichte van het gereduceerde model zonder collective efficacy ( $R^2 = 0,433$ ;  $F(1, 41) = 1,192$ ;  $p = .281$ ).

#### *Hypothesetoetsing*

Allereerst zijn de effecten van de kwetsbaarheidskenmerken sociaaleconomische status, culturele diversiteit, en verhuismobiliteit zoals verwacht: de collective efficacy stijgt wanneer een postcode in een hogere mediane inkomenscategorie valt ( $b = 0,289$ ;  $p < .05$ ), en wanneer er sprake is van meer culturele homogeniteit is ( $b = 0,033$ ;  $p < .01$ ). De collective efficacy neemt daarentegen af wanneer er sprake is van een hogere verhuismobiliteit ( $b = -0,029$ ;  $p < .01$ ). Er is geen effect gevonden van eenoudergezinnen op collective efficacy ( $b = -0,048$ ;  $p = .160$ ). Gecontroleerd voor elkaar is zichtbaar dat het afzonderlijke effect van de variabelen sociaaleconomische status en culturele diversiteit op collective efficacy verdwijnt, terwijl het effect van verhuismobiliteit slechts iets afzwakt: de hellingcoëfficiënt wijst op een maximale afname van 2,7 op de tienpuntschaal van collective efficacy, wanneer iedereen in een postcodegebied de wens zou hebben om te verhuizen ( $b = -0,027$ ;  $p < .01$ ). Ditzelfde effect is zichtbaar in de aanvullende analyse, weergegeven in tabel 5.

Daarmee is bewijs gevonden voor hypothese 1d: “Hoe hoger de verhuismobiliteit in de buurt, hoe lager de collective efficacy.” Hoewel de andere hellingcoëfficiënten ook in lijn liggen met de theoretische verwachtingen, (hypothese 1a, b, c) is er onvoldoende bewijs gevonden waaruit blijkt dat hogere concentraties van de andere drie kwetsbaarheidskenmerken leiden tot minder collective efficacy in de wijk.

In het eindmodel van de lineaire regressie op de individuele psychosociale jeugdproblematiek, weergegeven in tabel 4, is zichtbaar dat voor geen van de predictoren een significant effect is gevonden. Hoewel de negatieve coëfficiënt van collective efficacy wijst op een afname van de jeugdzorgkosten, is geen bewijs gevonden voor een onderling verband. Interessant om te benoemen is dat er wel gesproken kan worden van een significant gunstig effect van collective efficacy, wanneer de vier kwetsbaarheidskenmerken buiten beschouwing worden gelaten ( $b = -0,115$ ;  $p < .05$ ). Het exponentiëren van de hellingcoëfficiënt van de variabele collective efficacy laat zien dat de jeugdzorgkosten afnemen met een factor van 0,89, of 11%, voor iedere eenheid stijging op de schaal van 0 tot en met 10 ( $e^{-0,155}$ ) – deze resultaten worden weergegeven in tabel 16 in bijlage 6. Opvallend is verder dat een hogere concentratie van één culturele groep leidt tot een afname van psychosociale jeugdproblematiek wanneer collective efficacy niet is meegenomen, zo blijkt uit model 7 ( $b = -0,014$ ;  $p < .05$ ). Dat komt neer op een afname met een factor van 0,986, of 1,4% van de jeugdzorgkosten bij iedere procentpunt toename in de dichtheid van de culturele homogeniteit ( $e^{-0,014}$ ).

De aanvullende lineaire regressie met psychosociale jeugdproblematiek op postcodeniveau als afhankelijke variabele in tabel 6 onderschrijft het effect van culturele diversiteit dat in tabel 4 werd gevonden. Daarnaast blijkt uit het eindmodel ook dat een toename van het aantal eenoudergezinnen een ongunstige weerslag heeft op de prevalentie van psychosociale jeugdproblematiek: wanneer het aantal eenoudergezinnen groeit, stijgt de psychosociale jeugdproblematiek ( $b = 0,026$ ;  $p < .006$ ). Voor iedere procentpunt stijging van het aandeel eenoudergezinnen neemt het aandeel jongeren met één of meerdere jeugdzorgindicaties toe met een factor van 1,026, wat neerkomt op een toename van 2,6% ( $e^{0,026}$ ). Daarnaast blijkt uit de aanvullende analyse dat verhuismobiliteit positief van invloed is op de prevalentie van psychosociale jeugdproblematiek: het aantal jongeren met psychosociale problemen daalt wanneer er meer mensen met een verhuiswens zijn ( $b = -0,010$ ;  $p < .001$ ). Voor iedere procentpunt toename van het aandeel mensen met een verhuiswens, daalt het aandeel jongeren met één of meerdere jeugdzorgindicaties met 1%, gelijk aan een factor van 0,99 ( $e^{-0,010}$ ).

Zichtbaar is dat verhuismobiliteit als enige factor overblijft in de complete modellen voor het voorspellen van collective efficacy (tabel 3 en 6). Hoewel de VIF scores niet wijzen op een problematische multicollineariteit is het aannemelijk dat concentraties van verschillende buurtfactoren elkaar versterken. Om te onderzoeken hoe de buurtkenmerken zich onderling tot elkaar verhouden zijn alternatieve lineaire modellen geschat waarin de buurtkenmerken elkaar afwisselen als afhankelijke variabele, waarvan de resultaten zijn opgenomen in bijlage 6. Hieruit komen twee verbanden naar voren: zo blijkt uit tabel 17 dat een hogere concentratie van één cultuur gepaard gaat met hogere mediane inkomens ( $b = 0,046$ ;  $p = <.05$ ), en komt in tabel 18 naar voren dat de culturele diversiteit toeneemt naarmate er meer eenoudergezinnen in een postcodegebied wonen ( $b = -0,543$ ;  $p = <.05$ ). De regressieanalyse met verhuismobiliteit zelf als afhankelijke variabele laat zien dat er ook een omgekeerd effect bestaat van collective efficacy: naarmate de collective efficacy in een postcodegebied hoger is, neemt het aandeel bewoners met een verhuiswens af ( $b = -6,257$ ;  $p = <.01$ ).

Concluderend zijn er, naast dat er in de multipelen modellen geen sprake is van een significant effect van collective efficacy, ook geen aanwijzingen dat collective efficacy een mediërende rol heeft in het verband tussen de kwetsbare buurten en psychosociale jeugdproblematiek: voor geen enkel kenmerk is een beduidende afname van de hellingcoëfficiënt zichtbaar, en bovendien is niet voor alle wijken bewezen dat zij een nadelig effect hebben op collective efficacy. In deze steekproef is daarmee onvoldoende bewijs gevonden voor de tweede hypothese: “In wijken met minder collective efficacy, is sprake van meer psychosociale jeugdproblematiek.”

Tabel 3 - Lineaire regressie met collective efficacy als afhankelijke variabele (N = 54)

	Model 1		Model 2		Model 3		Model 4		Model 5		VIF
	<i>b</i> ( <i>SE</i> )	<i>p</i>	<i>b</i> ( <i>SE</i> )	<i>p</i>	<i>b</i> ( <i>SE</i> )	<i>p</i>	<i>b</i> ( <i>SE</i> )	<i>p</i>	<i>b</i> ( <i>SE</i> )	<i>p</i>	
Constante	4,910 0,377	< .001	3,829 0,687	< .001	5,882 0,231	< .001	6,620 0,241	<.001	4,438 0,771	< .001	
Sociaaleconomische Status	0,289 0,123	.023							0,116 0,170	.497	2,231
Culturele Diversiteit			0,033 0,012	.007					0,022 0,014	.113	1,551
Eenoudergezinnen					-0,048 0,034	.160			0,017 0,022	.445	1,650
Verhuismobiliteit							-0,029 0,009	.001	-0,027 0,009	.005	1,162
<i>R</i> <sup>2</sup>	0,096		0,131		0,038		0,181		0,275		
<i>R</i> <sup>2</sup> Adjusted	0,078		0,114		0,019		0,165		0,216		
<i>F</i>	5,499	.023	7,842	.007	2,032	.160	11,490	.001	4,641	.003	

Tabel 4 - Lineaire regressie met afhankelijke variabele psychosociale jeugdproblematiek op persoonsniveau ( $\log_{10}$ ) ( $N = 54$ )

	Model 6		Model 7		Model 8		VIF
	<i>b</i> ( <i>SE</i> )	<i>p</i>	<i>b</i> ( <i>SE</i> )	<i>p</i>	<i>b</i> ( <i>SE</i> )	<i>p</i>	
Constante	3,083 0,240	<.001	3,841 0,409	<.001	4,247 0,483	<.001	
Leeftijd	-0,011 0,020	.574	-0,011 0,019	.564	-0,009 0,019	.625	1,007
Geslacht	0,037 0,159	.815	0,010 0,157	.951	0,026 0,155	.867	1,057
Sociaaleconomische Status			0,003 0,078	.972	0,015 0,077	.847	2,288
Culturele Diversiteit			-0,014 0,006	.034	-0,012 0,006	.075	1,638
Eenoudergezinnen			0,006 0,010	.530	0,008 0,010	.431	1,679
Verhuismobiliteit			-0,003 0,004	.510	-0,005 0,004	.236	1,388
Collective Efficacy					-0,098 0,064	.134	1,391
$R^2$	0,007		0,154		0,195		
$R^2$ Change	0,007		0,147		0,041		
$R^2$ Adjusted	-0,032		0,046		0,072		
$F$ (Change)	0,185	.831	2,037	.104	2,328	.134	

Tabel 5 - Aanvullende lineaire regressie met collective efficacy als afhankelijke variabele ( $\log_{10}$ ) ( $N = 47$ )

	Model 1		Model 2		Model 3		Model 4		Model 5		VIF
	<i>b</i> ( <i>SE</i> )	<i>p</i>	<i>b</i> ( <i>SE</i> )	<i>p</i>	<i>b</i> ( <i>SE</i> )	<i>p</i>	<i>b</i> ( <i>SE</i> )	<i>p</i>	<i>b</i> ( <i>SE</i> )	<i>p</i>	
Constante	4,408 0,447	< .001	2,659 0,015	.006	5,140 0,263	< .001	6,040 0,333	< .001	4,315 1,220	.001	
Sociaaleconomische Status	0,209 0,118	.083							0,071 0,121	.562	1,283
Culturele Diversiteit			0,041 0,015	.009					0,021 0,018	.241	1,601
Eenoudergezinnen					-0,017 0,031	.591			0,009 0,030	.755	1,214
Verhuismobiliteit							-0,029 0,008	.001	-0,023 0,009	.011	1,226
<i>R</i> <sup>2</sup>	0,065		0,142		0,006		0,234		0,279		
<i>R</i> <sup>2</sup> <i>Adjusted</i>	0,044		0,123		-0,016		0,217		0,211		
<i>F</i>	3,135	.083	7,442	.009	0,293	.591	13,766	.001	4,068	.007	

Tabel 6 - Aanvullende lineaire regressie met afhankelijke variabele psychosociale jeugdproblematiek op postcodeniveau ( $\log_{10}$ ) ( $N = 47$ )

	Model 6		Model 7		VIF
	<i>b</i> ( <i>SE</i> )	<i>p</i>	<i>b</i> ( <i>SE</i> )	<i>p</i>	
Constante	0,986 0,373	.012	0,764 0,424	.079	
Sociaaleconomische Status	0,015 0,037	.548	0,011 0,037	.769	1,294
Culturele Diversiteit	-0,003 0,006	.006	-0,004 0,006	.432	1,655
Eenoudergezinnen	0,027 0,009	<.001	0,026 0,009	.006	1,217
Verhuismobiliteit	-0,011 0,003	.079	-0,010 0,003	.001	1,432
Collective Efficacy			0,051 0,047	.281	1,387
<i>R</i> <sup>2</sup>	0,417		0,433		
<i>R</i> <sup>2</sup> Change	0,417		0,016		
<i>R</i> <sup>2</sup> Adjusted	0,361		0,364		
<i>F</i> (Change)	7,498	<.001	1,192	.281	

#### *4.4 Modelinspectie*

Om te bepalen met welke mate van voorzichtigheid de resultaten geïnterpreteerd moeten worden, is een assumptiecheck en een inspectie naar invloedrijke punten uitgevoerd alvorens de uitkomsten van het onderzoek te bespreken. De implicaties daarvan worden meegewogen in het discussiehoofdstuk. Er zijn naar aanleiding van de modelinspectie geen redenen gevonden om nadere modelschattingen uit te voeren. De assumpties en diagnostiek voor invloedrijke datapunten worden uitgebreid besproken in bijlage 7.



## 5. Discussie

Niet eerder waren er in Nederland zoveel jongeren met jeugdzorg als in 2023: 474 duizend, wat neerkomt op 1 op de 9 jongeren (Centraal Bureau voor de Statistiek, 2023; 2024). Naast recordaantallen worden er grote geografische verschillen geconstateerd, vooral tussen wijken met hoge en lagere inkomens: zo blijkt dat jongeren in kwetsbare wijken een veel grotere kans hebben op psychosociale problemen dan hun leeftijdsgenoten in welvarende buurten (Reijneveld, 2005). Naar aanleiding van deze ontwikkelingen en de hernieuwde interesse van de overheid in de rol van de buurt bij dit maatschappelijke fenomeen, heeft dit onderzoek getracht te verklaren waarom psychosociale jeugdproblematiek vaker voorkomt in kwetsbare buurten. Aan de hand van de sociale desorganisatietheorie is de rol van collective efficacy in de relatie tussen kwetsbare buurten en psychosociale jeugdproblematiek onder de loep genomen. Met behulp van data over 54 jongeren in de jeugdzorg, die woonachtig zijn in de Groningse stadsbuurt Paddepoel-Zuid, is onderzoek gedaan naar het effect van de buurt op zowel de zwaarte en de complexiteit als de prevalentie van psychosociale jeugdproblematiek. Het vernieuwende aan dit onderzoek is dat de invloed van de buurt op psychosociale problematiek op een relatief laag ruimtelijk schaalniveau is onderzocht. Het voorspellen van psychosociale jeugdproblematiek met data op postcodeniveau gaf de gelegenheid om te toetsen of er een schadend dan wel beschermend effect uitgaat van nabije buurtbewoners.

In dit onderzoek is bewijs gevonden voor hypothese 1d: “Hoe hoger de verhuismobiliteit in de buurt, hoe lager de collective efficacy.” Hieruit blijkt dat wanneer meer mensen in een buurt een verhuiswens hebben en geneigd zijn te vertrekken, er minder snel sociale banden zullen ontstaan die nodig zijn voor cohesie in de buurt. Uit dit onderzoek is verder naar voren gekomen dat een hogere sociaaleconomische status, meer culturele homogeniteit en minder gebroken gezinnen inderdaad positief bijdragen aan collective efficacy, hoewel deze effecten verdwijnen in de modellen waarin de vier buurtkenmerken worden gecontroleerd voor elkaar. Hoewel de verdere resultaten in lijn lagen met de verwachtingen op basis van de theorie, is in dit onderzoek onvoldoende bewijs gevonden om de hypothesen 1a, b, c, en 2 te staven. Het significante effect van collective efficacy op psychosociale jeugdproblematiek in een model zonder de vier kwetsbaarheidskenmerken (bijlage 6, tabel 16), doet echter vermoeden dat de geringe steekproefomvang een mogelijke verklaring is voor het gebrek aan bewijs. Derhalve is de verwachting dat een grotere steekproef met meer statistische power beter in staat is om de onderzochte verbanden te staven.

Hoewel er geen direct verband tussen de vier kwetsbaarheidskenmerken en psychosociale jeugdproblematiek werd verwacht, werden in het eindmodel van de aanvullende analyse wel directe effecten van zowel eenoudergezinnen als verhuismobiliteit op de prevalentie van psychosociale jeugdproblematiek gevonden (tabel 6). Deze analyse laat zien dat een stijging van het percentage eenoudergezinnen en mensen met een verhuismobiel gepaard gaat met een relatief hoger aantal jongeren met psychosociale problemen. Het directe effect van eenoudergezinnen zou verklaard kunnen worden door het feit dat alleenstaande ouders minder ondersteuning van een partner hebben bij de opvoeding. Ook zou de ingrijpende levensgebeurtenis van scheidende ouders op zichzelf kunnen leiden tot psychosociale problemen bij het kind. Daarnaast werd een positief effect van verhuismobiliteit vastgesteld: hoe meer mensen met een verhuismobiel er in een postcodegebied wonen, des te minder jongeren met psychosociale problemen daar woonachtig zijn. Dit zou verklaard kunnen worden doordat de verhuisbehoefte een reflectie kan zijn van gunstige economische gezinsomstandigheden, hoewel er geen effect van sociaaleconomische status op verhuismobiliteit werd gevonden.

In de complete modellen voor het voorspellen van collective efficacy bleef verhuismobiliteit als enige factor over (tabel 3 en 6). Echter, vanwege de beperkingen van de steekproef is het moeilijk om effecten te isoleren en de resultaten goed te duiden. Hoewel de VIF scores niet wijzen op een problematische multicollineariteit is het aannemelijk dat concentraties van verschillende buurtfactoren elkaar versterken. Daarom zijn alternatieve lineaire modellen geschat waarin de buurtkenmerken elkaar afwisselen als afhankelijke variabele, om te onderzoeken hoe de buurtkenmerken zich onderling tot elkaar verhouden. In de regressieresultaten komen een aantal verbanden naar voren. Zo bleek dat een hogere concentratie van één cultuur gepaard gaat met hogere mediane inkomens, gecontroleerd voor de andere buurtkenmerken (bijlage 6, tabel 17). Dit zou verklaard kunnen worden doordat mensen met een migratieachtergrond gemiddeld genomen een lager inkomen hebben (Gielen et al., 2021). Verder kwam naar voren dat de culturele diversiteit toeneemt naarmate er meer eenoudergezinnen in een postcodegebied wonen (bijlage 6, tabel 18). Dit zou kunnen komen doordat gezinssituaties naar migratieachtergrond kunnen verschillen. Waar de meeste kinderen met een Nederlandse achtergrond opgroeien met beide ouders, is dat bij kinderen met een andere culturele achtergrond minder vaak het geval (Kalmijn, 2017). Voor wat betreft de variabele verhuismobiliteit zelf werd slechts een effect gevonden van collective efficacy wat het idee versterkt dat er een wisselwerking bestaat tussen de gemeenschapszin in de buurt en de wens om te verhuizen (bijlage 6, tabel 20).

Dit onderzoek kende een aantal methodologische beperkingen. Allereerst is psychosociale jeugdproblematiek in dit onderzoek geoperationaliseerd aan de hand van jeugdzorgindicaties. Echter, het is mogelijk dat de werkelijke jeugdproblematiek afwijkt van de jeugdproblematiek die middels de indicatiestellingen is geconstateerd door instanties. Het zou kunnen dat er veel kinderen zijn met psychosociale problemen, die niet op de radar van de jeugdzorg worden gesignaleerd: juist ouders die het sociaal en economisch moeilijk hebben weten bijvoorbeeld vaak minder goed de weg te vinden naar instanties als de jeugdzorg. Desondanks blijkt uit een rapport van het Sociaal en Cultureel Planbureau dat de discrepantie tussen het verwachte en het werkelijke gebruik van de jeugdzorg in Groningen relatief klein is. Op basis daarvan wordt verwacht dat de indicaties een vrij volledig beeld geven van de totale psychosociale jeugdproblematiek in Paddepoel-Zuid (Schellingerhout, et al., 2020).

Daarnaast heeft de mediërende variabele collective efficacy een aantal tekortkomingen. Hoewel het construct is samengesteld op basis van beproefde ideeën uit de literatuur over buurteffecten, was er voor de onderliggende items sprake van veel missende waarden. Omdat er geen patroon werd ontdekt in de missende waarden en om concessies op de steekproefomvang te vermijden is gekozen om de ontbrekende waarden te imputeren middels een iteratieve methode, waarbij vijf imputaties werden samengevoegd tot één analyseresultaat. Hoewel voor de missende waarden die zijn vervangen voor schattingen niet met zekerheid is te zeggen in hoeverre deze de werkelijkheid benaderen, is met de multipale imputatiemethode zo goed als mogelijk recht gedaan aan de onzekerheden omtrent ontbrekende data. Ditzelfde geldt voor de missende waarden bij de variabele verhuismobiliteit.

Naast ontbrekende waarden, heeft het relatief lage aantal respondenten op de enquête waaruit collective efficacy en verhuismobiliteit zijn afgeleid invloed op de mate van representativiteit van de waarden die zijn berekend om de postcodegebieden te vertegenwoordigen. Om voldoende data over te houden voor het onderzoek is de voorwaarde gesteld om postcodegebieden met drie of meer respondenten op de leefbaarheidsenquête mee te nemen in de analyses. Na het toepassen van deze minimumeis op de dataset bleven er 47 postcodegebieden over, waarin 55 jongeren woonachtig zijn met een bepaalde mate van psychosociale problematiek, en 337 respondenten op de leefbaarheidsenquête op een totaal van 3235 inwoners. Vanwege de logtransformatie van de afhankelijke variabele bleven er uiteindelijk 54 cases over voor analyse. Het responspercentage ten opzichte van het totaal aantal inwoners is gering (10,4%), en varieert per postcodegebied tussen rond de 5% en 25% (bijlage 2).

Het relatief lage responspercentage ten opzichte van de kleine hoeveelheden inwoners per postcodegebied – tussen de 30 en 140 – impliceert enige voorzichtigheid bij de interpretatie van de hellingcoëfficiënten voor collective efficacy en verhuismobiliteit: mensen die in een achterstandssituatie leven, zullen vanwege dagelijkse beslommeringen en stressoren naar verwachting minder snel geneigd zijn om een leefbaarheidsenquête in te vullen. Daardoor leiden de lage aantallen respondenten mogelijk tot een te gunstig beeld van de collective efficacy (overschatting) en de verhuismobiliteit (onderschatting) in de wijk.

Daarnaast blijkt uit een controle op de kwaliteit van het model dat er sprake is van schendingen van de assumpties met betrekking tot normaliteit, lineariteit en homoscedasticiteit die wat schaduw werpen op de resultaten (bijlage 7). Ondanks het transformeren van de afhankelijke variabelen en het uitvoeren van aanvullende analyses, zijn de uitkomsten van het onderzoek minder accuraat dan wenselijk. Desalniettemin liggen de resultaten in lijn met de hypothesen, wat in het licht van de beperkte data en de geringe steekproefomvang tot het vertrouwen leidt dat een uitgebreidere studie de hypothesen wel kan staven.

Concluderend is er geen doorslaggevend bewijs gevonden dat collective efficacy een rol speelt in het verband tussen kwetsbare buurten en psychosociale jeugdproblematiek. Echter, ondanks de tekortkomingen van het onderzoek zijn er wel degelijk aanwijzingen gevonden die duiden op een buurteffect. Allereerst bleek dat verhuismobiliteit een ongunstig effect heeft op collective efficacy. Dit impliceert dat gemeenschapszin moeilijker tot stand komt wanneer het bewonersverloop in een buurt hoog is, en er bovendien sprake kan zijn van selectieve migratie: bewoners die vertrekken uit een kwetsbare wijk kunnen zich financieel gezien een verhuizing permitteren en zullen naar verwachting worden vervangen door mensen die vanwege beperkte keuze op de woningmarkt verhuizen naar een minder aantrekkelijke buurt. In het licht van het negatieve effect van een lagere sociaaleconomische status op collective efficacy is dat een ongunstige dynamiek. Bovendien is het moeilijker om gericht op een buurt te interveniëren wanneer de bevolkingssamenstelling daarvan steeds verandert. Voor wijkgericht beleid is het een belangrijk gegeven dat de bewonerssamenstelling van een kwetsbare wijk veranderlijker is dan dat van welvarendere wijken. Gegeven de langjarige aard van de beleidsinterventies is het belangrijk om gaandeweg na te gaan of de aanvankelijke uitgangspunten van de beleidstheorie aansluiting blijven vinden bij de bewoners waaraan het is gericht, om ervoor te zorgen dat de interventie het gewenste effect bereikt.

Dat psychosociale jeugdproblematiek in de bredere sociale context van de jongere geplaatst moet worden is onderschreven, maar nog grotendeels onbegrepen. Om te begrijpen waarom de complexiteit en prevalentie van psychosociale jeugdproblematiek hoger is in kwetsbare buurten en te komen tot een effectieve aanpak daarvan, is het nodig om meer onderzoek te doen naar de rol van de buurtgemeenschap in de relatie tussen kwetsbare buurten en psychosociale problemen onder jongeren. Het streven naar een grondig beeld van de oorzaken van de toenemende psychosociale jeugdproblematiek draagt bij aan de gezondheid van toekomstige generaties, en brengt een samenleving gericht op het voorkomen in plaats van het verlenen van jeugdzorg een stap dichterbij.

## 6. Bibliografie

- Bartelink, C. & Verheijden, E. (2015) Wat werkt bij het versterken van het sociale netwerk van gezinnen? Geraadpleegd op 1 oktober 2019 via [www.nji.nl](http://www.nji.nl)
- Batterink, M., Lapajian, I., Meijer, J. (2018) Regionale verschillen in het gebruik van jeugdhulp met verblijf. Barneveld: Significant.
- Bellair, P.E. (1997). Social interaction and community crime: examining the importance of neighbor networks. *Criminology*, 35, 677-703.
- Betz, C. L. (1995). Childhood violence: A nursing concern. *Issues in Comprehensive Pediatric Nursing*, 18, 149-161.
- Boer, M., Van Dorsselaer, S., De Looze, M., De Roos, S., Brons, H., Van den Eijnden, R., Monshouwer, K., Huijnk, W., Ter Bogt, T., Vollebergh, W., Stevens, G. (2022) HbSc 2021. Gezondheid en welzijn van jongeren in Nederland. Utrecht: Trimbos Instituut.
- Bot, S., De Roos, S., Sadiraj, K., Keuzenkamp, S., Van den Broek, A., Kleijnen, E. (2013) Terecht in de jeugdzorg. Voorspellers van kind- en opvoedproblematiek en jeugdzorggebruik. Den Haag: Sociaal en Cultureel Planbureau
- Bronfenbrenner, U. (1989) Ecological systems theory. In *American Psychological Association eBooks* (pp. 129–133). <https://doi.org/10.1037/10518-046>
- Bronfenbrenner, U. (2005) Making human beings human: Bioecological perspectives on human development. Thousand Oaks, CA: Sage Publications.
- Brooks-Gunn, J. & Duncan, G. J. (1997). The effects of poverty on children. *The Future Of Children*, 7(2), 55. <https://doi.org/10.2307/1602387>
- Brooks-Gunn, J., Duncan, G.J., Klebanov, P.K., & Sealand N (1993) Do neighborhoods influence child and adolescent development? *The American Journal of Sociology*, 99(2), 353-395.
- Buck, N., 2001. Identifying neighborhood effects on social exclusion. *Urban Studies*, 38(12), 2251–2275.
- Bucx, F. en Simone de Roos (2011) Opvoeden in Nederland. In: F. Bucx (red.), *Gezinsrapport 2011* (p. 152-179). Den Haag: Sociaal en Cultureel Planbureau (SCP-publicatie 2011-7).
- Burgess, E. W. (1925) The growth of the city. P. 47-62 in *The City*, Chicago: University of Chicago Press.
- Bursik, R. J. & Grasmick, H. G. (1993) Neighborhoods and crime: The dimensions of effective community control. *Contemporary Sociology*, 23(1), 112. <https://doi.org/10.2307/2074915>

- Bradley, R. H. & Corwyn, R. F. (2002). Socioeconomic status and child development. *Annual Review of Psychology*, 53(1), 371–399.  
<https://doi.org/10.1146/annurev.psych.53.100901.135233>
- Centraal Bureau voor de Statistiek (2023, 30 oktober) Meer jongeren met jeugdzorg in eerste helft van 2023. *Centraal Bureau Voor de Statistiek*. <https://www.cbs.nl/nl-nl/nieuws/2023/44/meer-jongeren-met-jeugdzorg-in-eerste-helft-van-2023>
- Centraal Bureau voor de Statistiek (2023a, 30 oktober) Achtergrondkenmerken van jongeren met jeugdzorg. *Centraal Bureau Voor de Statistiek*. <https://www.cbs.nl/nl-nl/longread/rapportages/2023/achtergrondkenmerken-van-jongeren-met-jeugdzorg>
- Centraal Bureau voor de Statistiek (2024, 29 april) Meer jongeren met jeugdhulp, vooral meer tienermeiden. *Centraal Bureau Voor de Statistiek*. <https://www.cbs.nl/nl-nl/nieuws/2024/18/meer-jongeren-met-jeugdhulp-vooral-meer-tienermeiden>
- Chilman, C. S., Brooks-Gunn, J., Duncan, G. J., & Aber, J. L. (1999) Neighborhood poverty: Context and consequences for children. *Journal of Marriage and Family*, 61(1), 259.  
<https://doi.org/10.2307/353903>
- Coleman, J. S. (1990) Foundations of social theory. Cambridge, MA: Harvard University Press.
- Crijnen, A.A.M., Achenbach, T.M., & Verhulst, F.C. (1997) Comparisons of problems reported by parents of children in 12 cultures: Total problems, externalizing, and internalizing. *Child Adolescent Psychiatry*, 36(9), 1269-1277.
- De Clercq, J.O.E. en Van Vreckhem, S. (2008) Kinderen van ouders met psychiatrische problemen. In: Pier Prins en Caroline Braet (red.), *Handboek klinische ontwikkelingspsychologie* (p. 229-235). Houten: Bohn Stafleu van Loghum.
- De Looze, M., Van Dorsselaer, S., De Roos, S., Verdurmen, J., Stevens, G., Gommans, R., Van Bon-Martens, M., Ter Bogt, T., Vollebergh, W. (2014). HbSc 2013. Gezondheid, welzijn en opvoeding van jongeren in Nederland. Utrecht: Universiteit Utrecht ([https://dspace.library.uu.nl/bitstream/handle/1874/304333/HBSC\\_NL\\_Rapport\\_2013.pdf?sequence=1&isAllowed=y](https://dspace.library.uu.nl/bitstream/handle/1874/304333/HBSC_NL_Rapport_2013.pdf?sequence=1&isAllowed=y)).
- Duncan, G. J. & Brooks-Gunn, J. (2000) Family Poverty, Welfare Reform, and Child Development. *Child Development*, 71(1), 188–196. <https://doi.org/10.1111/1467-8624.00133>
- Duncan, G. J., & Raudenbush, S. W. (2001). Neighborhoods and adolescent development: How can we determine the links? In *Psychology Press eBooks* (pp. 117–148).  
<https://doi.org/10.4324/9781410600141-17>

- Edwards B. & Bromfield L.M. (2009). Neighborhood influences on young children's conduct problems and pro-social behavior: Evidence from an Australian national sample. *Children and Youth Services Review*, 31(3), 317.
- Einde-Bus, A.E.M., Goldschmeding, J.E.J., Tielen, L.M., Waart, F.G., Looij-Jansen, P.M. (2010) Jongeren die opgroeien met een langdurig ziek, gehandicapt of verslaafd familielid: reden tot zorg. In: *Tijdschrift voor gezondheidswetenschappen*, jg. 88, nr. 2, p. 79-88
- Eisenberg, N., Cumberland, A., Spinrad, T. L., Fabes, R. A., Shepard, S. A., Reiser, M., ... Guthrie, I. K. (2001). The relations of regulation and emotionality to children's externalizing and internalizing problem behavior. *Child Development*, 72, 1112-1134.
- Ellen, I.G., & Turner, M.A. (1997) Does neighborhood matter? Assessing recent evidence. *Housing Policy Debate*, 8(4), 833–866.
- Elliott, D.S., Wilson, W. J., Huizinga, D., Sampson, R. J., Elliott, A., & Rankin, B. (1996) The effects of neighborhood disadvantage on adolescent development. *Journal of Research in Crime and Delinquency*, 33, 389–426.
- Engbersen, R., Uytterlinde, M., Bronsvort, I. (2018) Verschillen geduid. Exploratief onderzoek naar hoog en laag voorzieningengebruik in stedelijke regio's. Den Haag: Platform31.
- Farrington, D. P. (1987) Early precursors of frequent offending. In J. Q. Wilson & G. C. Lounsbury (Eds.), *From children to citizens* (Vol. 3). New York: Springer-Verlag.
- Furstenberg, F. F., Cook, T. D., Eccles, J., Elder, G. H. Jr., Sameroff, A. (1999) *Managing to make it: Urban families and adolescent success*. Chicago, IL: University of Chicago Press.
- Gielen, M., Scholten, N., Bakker, L., & Blom, M. (2021) *Monitor van gelijke kansen en evenredige posities op de arbeidsmarkt, ongeacht migratieachtergrond* (eerste editie). Utrecht: Significant Public.
- Ginther, D., Haveman, R., & Wolfe, B. (2000). Neighbourhood attributes as determinants of children's outcomes. *Journal of Human Resources*, 35(4), 603–642.
- Hermanns J., Ory F. & Schrijvers G. (2005) *Helpen bij opgroeien en opvoeden: eerder, sneller en beter. Een advies over vroegtijdige signalering en interventies bij opvoed- en opgroei problemen*. Utrecht: Inventgroep.
- Hipp, J. R. (2016). Collective efficacy: How is it conceptualized, how is it measured, and does it really matter for understanding perceived neighborhood crime and disorder? *Journal Of Criminal Justice*, 46, 32–44. <https://doi.org/10.1016/j.jcrimjus.2016.02.016>



- Jencks, C. & Mayer, S. E. (1990) The social consequences of growing up in a poor neighborhood. P. 111-86 in *Inner-city poverty in the United States*, Washington DC: National Academy Press
- Kalmijn, M. (2017) Family structure and the well-being of immigrant children. *International Migration Review*, 51 (4), pp. 927-963.
- Kim, J. & Rabjohn, J. (1980) Binary variables and index construction. *Sociological Methodology*, 11, 120. <https://doi.org/10.2307/270861>
- Kornhauser, R. R. (1979). Social sources of delinquency: An appraisal of analytic models. *Social Forces*, 58(1), 388. <https://doi.org/10.2307/2577825>
- Kovacs, M., & Devlin, B. (1998). Internalizing disorders in childhood. *Journal Child Psychology and Psychiatry*, 39(1), 47-63.
- Leventhal, T. & Brooks-Gunn, J. (2000) The neighborhoods they live in: The effects of neighborhood residence on child and adolescent outcomes. *Psychological Bulletin*, 126 (2), 309–337.
- Liu, J. (2004). Childhood externalizing behaviour: Theory and implications. *Journal of Childhood and Adolescent Psychiatry Nursery*, 17, 93-103.
- Mayer, S. E. & Jencks, C. (1989) Growing up in poor neighborhoods: How much does it matter? *Science*, 243: 1441-6.
- McKnight, P. E., McKnight, K., Sidani, S. & Figueredo, A. J. (2007) Missing data: A gentle introduction. <http://ci.nii.ac.jp/ncid/BA81941665>
- Mervielde, I., de Clerq, B., de Fruyt, F., & van Leeuwen, K. (2005) Temperament, personality, and developmental psychopathology as childhood antecedents of personality disorders. *Journal of Personality Disorders*, 19, 171-201.
- Muler, N., ten Kate, C., & Eurelings-Bontekoe, L. (2009) Internaliserende problematiek in de kindertijd als risicofactor voor de ontwikkeling van persoonlijkheidspathologie op latere leeftijd. In E. H. M. Eurelings-Bontekoe, R. Verheul, & W. M. Snellen (Eds.), *Handboek persoonlijkheidspathologie* (pp. 63-72). Houten: Bohn Stafleu van Loghum.
- Moffitt, T. E. (1993) Life-course persistent and adolescent-limited antisocial behaviour: A developmental taxonomy. *Psychological Review*, 100, 674-701.
- Mönks, F.J. en I.H. Ypenburg (2011). *Hoogbegaafdheid bij kinderen*. Amsterdam: Boom.
- Morenoff, J.D., Sampson, R.J. & Raudenbush, S.W. (2001) Neighborhood inequality, collective efficacy, and the spatial dynamics of urban violence. *Criminology*, 39, 517-560.

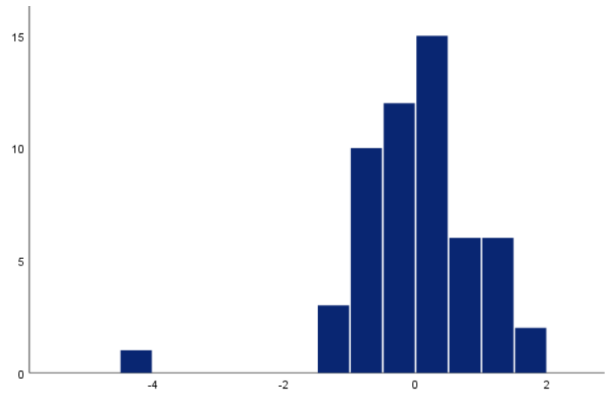
- Offord, D., & Bennet, K. (1994). Conduct disorder: Long-term outcomes and intervention effectiveness. *Journal of the Academy of Child and Adolescence Psychiatry*, 33(8), 1069-1078.
- Peeters, C., Batterink, M., Schumacher, G., Tazelaar, P. (2019) Benchmarkanalyse uitgaven jeugdhulp in 26 gemeenten. Leren van overeenkomsten en verschillen in beleid en uitvoering jeugdhulp. Barneveld: Significant.
- Postma S. (2008) JGZ-richtlijn vroegsignalering van psychosociale problemen. RIVM, Bilthoven. Dorsselaer et al., 2007
- Ras, M., Pommer, E., Sadiraj, K. (2014) Kostenverschillen in de jeugdzorg. Den Haag: Sociaal en Cultureel Planbureau (SCP-publicatie 2014-40).
- Reijneveld, S. A., Brugman, E., Verhulst, F. C., & Verloove-Vanhorick, S. (2005). Area deprivation and child psychosocial problems. *Social Psychiatry and Psychiatric Epidemiology*, 40(1), 18–23. <https://doi.org/10.1007/s00127-005-0850-0>
- RIGG (2024) Maximum tarieven 2024. Geraadpleegd op 07-03-2024 via: <https://www.rigg.nl/custom/uploads/2023/06/Maximum-tarieven-2024.pdf>.
- Ross, C.E., Mirowsky, J. & Pribesh, S. (2001) Powerlessness and the amplification of threat: neighborhood disadvantage, disorder and mistrust. *American Sociological Review*, 66, 568- 591.
- Rovers, B. (1997) De buurt een broeinest? Een onderzoek naar de invloed van woonomgeving op jeugdcriminaliteit. Nijmegen: Ars Aequi Libri.
- Sampson, R.J. (2001) How do communities undergird or undermine human development? Relevant contexts and social mechanisms. In A. Booth, & A. C. Crouter (Eds.), *Does it take a village? Community effects on children, adolescents, and families* (pp. 3–30). Mahwah, NJ: Lawrence Erlbaum Associates.
- Sampson, R. J. (2012) *Great American city: Chicago and the enduring neighborhood effect*. Chicago: University of Chicago Press.
- Sampson, R. J., & Groves, W. B. (1989) Community Structure and Crime: Testing Social-Disorganization Theory. *American Journal Of Sociology*, 94(4), 774–802. <https://doi.org/10.1086/229068>
- Sampson, R. J., Morenoff, J. D. & Earls, F. J. (1999) Beyond social capital: Spatial dynamics of collective efficacy for children. *American Sociological Review*, 64(5), 633. <https://doi.org/10.2307/2657367>
- Sampson, R.J., Morenoff, J.D. & Gannon-Rowley, T. (2002) Assessing Neighborhood Effects: Social Processes and New Directions in Research. *Annual Review of Sociology*, 28, 443-478.

- Sampson, R. J., Raudenbush, S. W. & Earls, F. J. (1997) Neighborhoods and violent crime: A multilevel study of collective efficacy. *Science*, 277(5328), 918–924. <https://doi.org/10.1126/science.277.5328.918>
- Schafer, J. L. (1999) Multiple imputation: a primer. *Statistical Methods in Medical Research*, 8(1), 3–15. <https://doi.org/10.1177/096228029900800102>
- Schellingerhout, R., Ooms, I., Eggink, E., & Boelhouwer, J. (2020). Jeugdhulp in de wijk. Den Haag, Sociaal Cultureel Planbureau.
- Schneiders, J., Drukker, M., Van der Ende, J., Verhulst, F.C., van Os, J., Nicolson, N.A. (2003) Neighbourhood socioeconomic disadvantage and behavioural problems from late childhood into early adolescence. *Journal Epidemiol Community Health*, 57:699–703.
- Shaw, C. R. & McKay, H. D. (1942) Juvenile delinquency and urban areas. *Journal Of Criminal Law And Criminology*, 34(1), 39. <https://doi.org/10.2307/1137187>
- Shumow, L., Vandell, D., & Posner, J.K., 1998. Perceptions of danger: Mediators between neighborhood risk and children's behavior problems. *American Journal of Orthopsychiatry*, 668, 468-478.
- Skogan, W. (1986) Fear of crime and neighborhood change. Pp. 203-29 in *Communities and Crime*, Chicago: University of Chicago Press.
- Sykes, B. (2009) De buurtcontext en middelbare schoolprestaties in Nederland. In: S. Mustard en W. Ostendorf (red.), *Problemen in wijken of probleemwijken?* (p. 35-48). Assen: Van Gorcum.
- Van Berlo, L., Cima, M., Tonnaer, A., Klimstra, T. A., Baanders, A., & Verwaaijen, S. (2016) Sociale vaardigheden, internaliserende problematiek en externaliserende problematiek bij jongeren opgenomen in een JeugdzorgPlus-instelling. *Gedragstherapie*, 49, 395–417. <https://repository.ubn.ru.nl/handle/2066/162831>
- Van Dorsselaer, S., Zeijl E., van den Eeckhout S., ter Bogt T., Vollebergh W. (2007) HBSC 2005. *Gezondheid en welzijn van jongeren in Nederland*. Utrecht: Trimbosinstituut.
- Vollebergh, W. (2010) Psychische problemen. In: *Gezondheid, welzijn en opvoeding van jongeren in Nederland* (p. 83-92). Utrecht: Trimbos-Instituut.
- Weijters, G., Scheepers, P., Gerris, J. (2007) Distinguishing the city, neighbourhood and individual level in the explanation of youth delinquency. In: *European Journal of Criminology*, 4(1): 87-108.
- Wilson, W. J. (1987) The Truly Disadvantaged. The Inner City, the underclass, and public policy. Chicago: University of Chicago Press, *American Political Science Review*, 82(4), 1388–1389. <https://doi.org/10.2307/1961794>

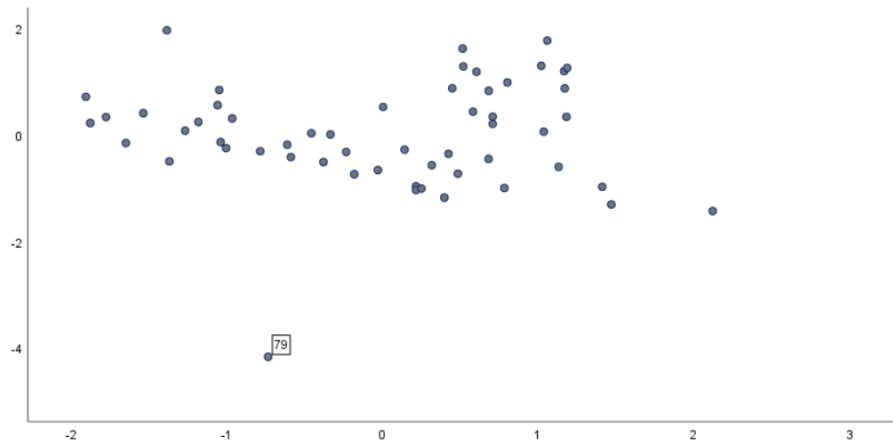
- Wikström, P. H. & Loeber, R. (2000) Do disadvantaged neighborhood cause well-adjusted children to become adolescent delinquents? A study of male juvenile serious offending, individual risk and protective factors, and neighborhood context. *Criminology*, 38(4), 1109–1142. <https://doi.org/10.1111/j.1745-9125.2000.tb01416.x>
- Wolsink, J., Van Esseveldt, J., Derksen, E., Brouwer, N., Ferwerda, H. (2023) Het (boven)lokale netwerk in Paddepoel ontleed: de invloed van criminele netwerken op jongeren in een Groningse wijk. Groningen: Bureau Beke
- Xue Y., Leventhal T., Brooks-Gunn J., Earls F.J. (2005) Neighborhood residence and mental health problems of 5- to 11-Year-Olds. *Archives of general psychiatry*; 62, 554-563.
- Zeijl, E.,M. Crone, K. Wiefferink, S. Keuzenkamp, M. Reijneveld (2005). *Kinderen in Nederland*. Den Haag/Leiden: SCP/TNO.Schneiders et al. (2003)

## 7. Bijlagen

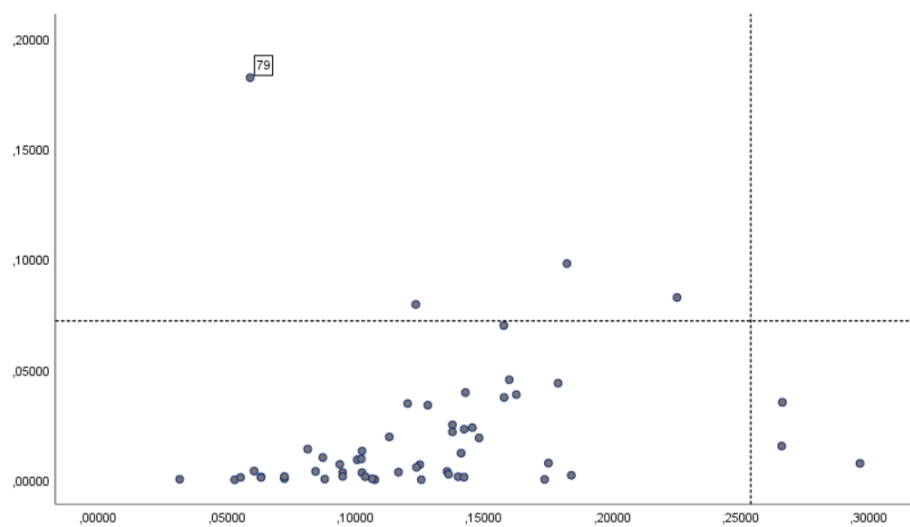
### Bijlage 1 – Analyses inclusief nulwaarde



*Figuur 5 - Histogram van de residuen*



*Figuur 6 - Residuenplot*

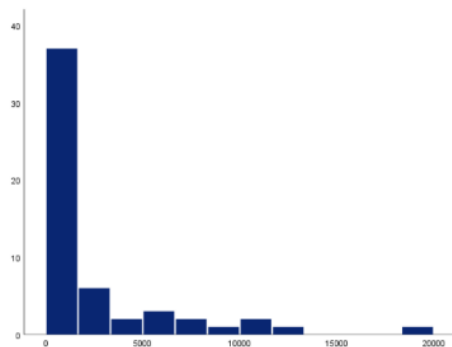


*Figuur 7 - Cook's distance en leverage waarden*

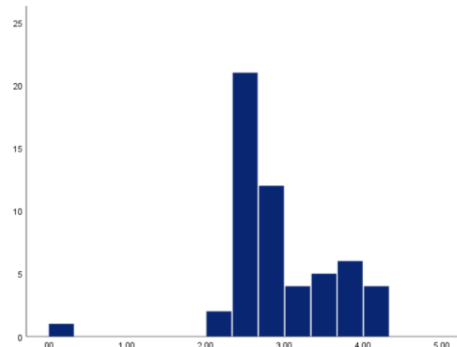
Tabel 7 - Beschrijvende statistieken (N = 55)

	Gemiddelde (SD)	Minimum	Q1	Q2	Q3	Maximum
Psychosociale Jeugdproblematiek	2432,5 3899,2	0,0	320,0	619,2	2328,9	19887,0
Psychosociale Jeugdproblematiek (log10)	2,9 0,7	0,0	2,5	2,8	3,4	4,3
Collective Efficacy	5,7 1,4	3,3	4,9	5,6	6,9	8,4
Sociaaleconomische Status	2,7 1,5	1,0	2,0	2,0	4,0	6,0
Culturele Diversiteit	56,1 15,0	36,0	44,0	54,0	68,0	82,0
Eenoudergezinnen	11,4 9,7	0,0	0,0	11,1	20,0	33,0
Verhuismobiliteit	19,5 19,9	0,0	0,0	16,7	33,3	67,0
Leeftijd	10,6 4,0	3,0	9,0	11,0	14,0	18,0
Geslacht (%)						
Vrouw (0)	42%					
Man (1)	58%					

\*Bij de variabele geslacht is de frequentieverdeling vermeld in percentages



Figuur 8 - Histogram psychosociale jeugdproblematiek (N=55)



Figuur 9 - Histogram psychosociale jeugdproblematiek (log<sub>10</sub>) (N=55)

Tabel 8 - Correlatiecoëfficiënten (N = 55)

	1	2	3	4	5	6	7	8
1 Psychosociale Jeugdproblematiek (log <sub>10</sub> )		-0,219	-0,262	-0,286*	0,210	0,012	-0,091	-0,042
2 Collective Efficacy			0,306*	0,362**	-0,133	-0,425**	0,039	0,087
3 Sociaaleconomische Status				0,566**	-0,585**	-0,296*	0,003	-0,118
4 Culturele Diversiteit					-0,198	-0,183	-0,003	-0,010
5 Eenoudergezinnen						0,349**	0,023	0,102
6 Verhuismobiliteit							0,045	-0,091
7 Leeftijd								0,021
8 Geslacht								

\*Correlatie is significant bij een tweezijdig niveau lager dan 0.05 (p < .05)

\*\*Correlatie is significant bij een tweezijdig niveau lager dan 0.01 (p < .01)

Tabel 9 - Lineaire regressie met afhankelijke variabele collective efficacy (N = 55)

	Model 1		Model 2		Model 3		Model 4		Model 5		VIF
	<i>b</i> ( <i>SE</i> )	<i>p</i>	<i>b</i> ( <i>SE</i> )	<i>p</i>	<i>b</i> ( <i>SE</i> )	<i>p</i>	<i>b</i> ( <i>SE</i> )	<i>p</i>	<i>b</i> ( <i>SE</i> )	<i>p</i>	
Constante	4,916 0,374	< .001	3,828 0,679	< .001	5,873 0,226	< .001	5,915 0,249	< .001	4,433 0,760	< .001	
Sociaaleconomische Status	0,284 0,122	.023							0,115 0,168	.495	2,250
Culturele Diversiteit			0,033 0,012	.007					0,022 0,014	.107	1,541
Eenoudergezinnen					-0,048 0,034	.160			0,017 0,022	.434	1,677
Verhuismobiliteit							-0,171 0,125	.177	-0,027 0,009	.004	1,161
<i>R</i> <sup>2</sup>	0,093		0,131		0,037		0,034		0,275		
<i>R</i> <sup>2</sup> <i>Adjusted</i>	0,076		0,115		0,019		0,016		0,217		
<i>F</i>	5,465	.023	7,998	.007	2,027	.160	1,872	.177	4,736	.003	



Tabel 10 - Lineaire regressie met afhankelijke variabele psychosociale jeugdproblematiek (log10) (N = 55)

	Model 6		Model 7		Model 8		VIF
	<i>b</i> ( <i>SE</i> )	<i>p</i>	<i>b</i> ( <i>SE</i> )	<i>p</i>	<i>b</i> ( <i>SE</i> )	<i>p</i>	
Constante	3,131 0,291	<.001	3,794 0,503	<.001	4,168 0,602	<.001	
Leeftijd	-0,016 0,024	.515	-0,015 0,023	.513	-0,014 0,023	.620	1,007
Geslacht	-0,055 0,159	.774	-0,109 0,191	.569	-0,095 0,191	.620	1,047
Sociaaleconomische Status			-0,034 0,095	.724	-0,023 0,096	.812	2,301
Culturele Diversiteit			-0,011 0,008	.169	-0,009 0,008	.272	1,627
Eenoudergezinnen			0,012 0,012	.330	0,014 0,013	.277	1,703
Verhuismobiliteit			-0,004 0,005	.438	-0,006 0,006	.254	1,388
Collective Efficacy					-0,090 0,080	.266	1,391
<i>R</i> <sup>2</sup>	0,010		0,132		0,155		
<i>R</i> <sup>2</sup> Change	0,010		0,122		0,023		
<i>R</i> <sup>2</sup> Adjusted	-0,028		0,023		0,029		
<i>F</i> (Change)	0,260	.772	1,684	.169	1,269	.266	

## Bijlage 2 – Dataset

Tabel 11 - Originele dataset<sup>16</sup>

Postcode	Clïënten (N)	Respondenten (N)	Inwoners (N)	Respons (%)
1	5	5	160	3,1%
2	0	0	10	0,0%
3	0	6	35	17,1%
4	0	0	25	0,0%
5	0	1	35	2,9%
6	0	0	30	0,0%
7	3	3	70	4,3%
8	0	0	10	0,0%
9	0	2	30	6,7%
10	1	1	35	2,9%
11	0	0	15	0,0%
12	0	0	100	0,0%
13	0	0	60	0,0%
14	0	21	235	8,9%
15	3	1	30	3,3%
16	2	3	40	7,5%
17	4	3	45	6,7%
18	2	1	40	2,5%
19	2	4	35	11,4%
20	0	1	15	6,7%
21	0	1	20	5,0%
22	0	0	35	0,0%
23	0	3	25	12,0%
24	3	0	35	0,0%
25	0	0	35	0,0%
26	0	2	25	8,0%
27	2	3	60	5,0%
28	0	2	45	4,4%
29	0	0	35	0,0%
30	0	3	30	10,0%
31	0	5	30	16,7%
32	0	1	15	6,7%
33	2	5	55	9,1%
34	2	8	55	14,5%
35	1	8	30	26,7%
36	0	2	25	8,0%
37	1	32	125	25,6%
38	0	4	100	4,0%
39	5	2	40	5,0%
40	2	2	40	5,0%
41	1	2	45	4,4%
42	0	5	45	11,1%
43	0	18	140	12,9%
44	0	1	30	3,3%
45	0	7	140	5,0%
46	5	8	40	20,0%
47	1	10	100	10,0%
48	1	16	115	13,9%
49	0	3	70	4,3%
50	0	20	310	6,5%

<sup>16</sup> Vanwege de gevoeligheid van de informatie zijn de oorspronkelijke postcodes vervangen met nummers om iedere vorm van herleidbaarheid te voorkomen. Tabel gaat verder op de volgende pagina.

51	0	1	40	2,5%
52	0	5	45	11,1%
53	1	8	40	20,0%
54	0	0	10	0,0%
55	3	4	80	5,0%
56	2	4	45	8,9%
57	1	4	25	16,0%
58	1	6	35	17,1%
59	0	3	25	12,0%
60	1	3	50	6,0%
61	0	1	15	6,7%
62	0	2	35	5,7%
63	0	3	35	8,6%
64	1	3	60	5,0%
65	0	3	30	10,0%
66	2	2	30	6,7%
67	6	2	55	3,6%
68	1	0	15	0,0%
69	2	2	35	5,7%
70	3	0	40	0,0%
71	3	3	35	8,6%
72	0	1	50	2,0%
73	1	0	35	0,0%
74	4	12	140	8,6%
75	2	3	35	8,6%
76	3	17	95	17,9%
77	0	3	45	6,7%
78	2	2	40	5,0%
79	0	1	15	6,7%
80	4	1	65	1,5%
81	4	1	35	2,9%
82	2	1	35	2,9%
83	0	1	30	3,3%
84	0	4	30	13,3%
85	0	7	35	20,0%
86	2	14	135	10,4%
87	3	2	70	2,9%
88	0	2	30	6,7%
89	5	1	40	2,5%
90	1	1	15	6,7%
91	1	1	20	5,0%
92	3	0	55	0,0%
93	0	0	45	0,0%
94	2	1	25	4,0%
95	2	1	45	2,2%
96	0	3	25	12,0%
97	0	1	15	6,7%
98	0	5	25	20,0%
99	0	9	35	25,7%
100	0	8	40	20,0%
100	116	387	5035	7,7%

Tabel 12 - Dataset na filter op  $\geq 3$  respondenten per postcodegebied

Postcode	Cliënten (N)	Respondenten (N)	Inwoners (N)	Respons (%)
1	5	5	160	3,1%
3	0	6	35	17,1%
7	3	3	70	4,3%
14	0	21	235	8,9%
16	2	3	40	7,5%
17	4	3	45	6,7%
19	2	4	35	11,4%
23	0	3	25	12,0%
27	2	3	60	5,0%
30	0	3	30	10,0%
31	0	5	30	16,7%
33	2	5	55	9,1%
34	2	8	55	14,5%
35	1	8	30	26,7%
37	1	32	125	25,6%
38	0	4	100	4,0%
42	0	5	45	11,1%
43	0	18	140	12,9%
45	0	7	140	5,0%
46	5	8	40	20,0%
47	1	10	100	10,0%
48	1	16	115	13,9%
49	0	3	70	4,3%
50	0	20	310	6,5%
52	0	5	45	11,1%
53	1	8	40	20,0%
55	3	4	80	5,0%
56	2	4	45	8,9%
57	1	4	25	16,0%
58	1	6	35	17,1%
59	0	3	25	12,0%
60	1	3	50	6,0%
63	0	3	35	8,6%
64	1	3	60	5,0%
65	0	3	30	10,0%
71	3	3	35	8,6%
74	4	12	140	8,6%
75	2	3	35	8,6%
76	3	17	95	17,9%
77	0	3	45	6,7%
84	0	4	30	13,3%
85	0	7	35	20,0%
86	2	14	135	10,4%
96	0	3	25	12,0%
98	0	5	25	20,0%
99	0	9	35	25,7%
100	0	8	40	20,0%
47	55	337	3235	10,4%

Tabel 13 - Dataset na filter op postcodes met jeugdproblematiek en  $\geq 3$  respondenten per postcodegebied

Postcode	Clënten (N)	Respondenten (N)	Inwoners (N)	Respons (%)
1	5	5	160	3,1%
2	3	3	70	4,3%
5	2	3	40	7,5%
6	4	3	45	6,7%
8	2	4	35	11,4%
10	2	3	60	5,0%
11	2	5	55	9,1%
12	2	8	55	14,5%
13	1	8	30	26,7%
14	1	32	125	25,6%
18	5	8	80	10,0%
19	1	10	100	10,0%
20	1	16	115	13,9%
21	1	8	40	20,0%
22	3	4	80	5,0%
23	2	4	45	8,9%
24	1	4	25	16,0%
25	1	6	30	20,0%
26	1	3	50	6,0%
27	1	3	60	5,0%
33	3	3	35	8,6%
35	4	12	140	8,6%
36	2	3	35	8,6%
37	3	17	95	17,9%
42	2	14	135	10,4%
25	55	189	1740	10,9%

### Bijlage 3 – Aanvullende analyses

In de aanvullende analyses is de afhankelijke variabele uitgedrukt als het aandeel jongeren met één of meerdere jeugdzorgindicaties per postcodegebied, om naast het toetsen van een effect op individuele uitkomsten te onderzoeken of de buurt van invloed is op de prevalentie van psychosociale jeugdproblematiek op postcodeniveau. De postcodegebieden die voldoen aan de minimumeis van drie respondenten zijn meegenomen in de analyses ( $N = 47$ ).

Tabel 14 - Beschrijvende statistieken ( $N = 47$ )

	Gemiddelde (SD)	Minimum	Q1	Q2	Q3	Maximum
Psychosociale Jeugdproblematiek	6,3 8,0	0,0	0,0	3,0	10,0	33,0
Psychosociale Jeugdproblematiek (log10)	0,6 0,6	0,0	0,0	0,6	1,0	1,5
Collective Efficacy	5,1 1,6	2,2	3,6	5,1	6,2	8,4
Sociaaleconomische Status	3,2 2,0	1,0	2,0	2,0	5,0	8,0
Culturele Diversiteit	54,9 15,1	38,0	46,9	56,9	68,0	100,0
Eenoudergezinnen	3,5 7,9	0,0	0,0	0,0	0,0	33,3
Verhuismobiliteit	33,2 27,4	0,0	0,0	33,0	50,0	100,0

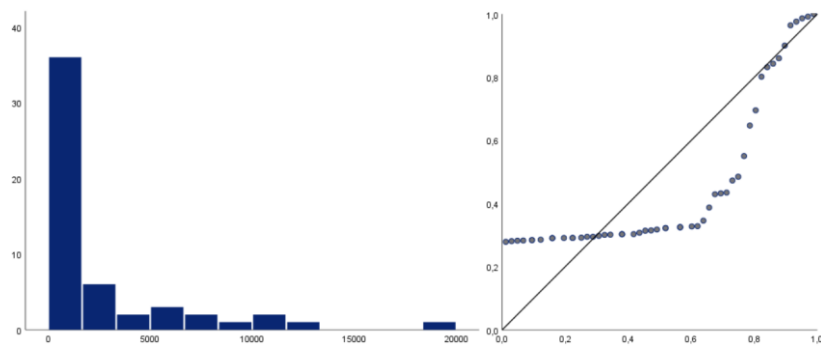
Tabel 15 - Correlatiecoëfficiënten ( $N = 47$ )

	1	2	3	4	5	6
1 Psychosociale Jeugdproblematiek (log10)		0,325*	0,039	0,013	0,364*	-0,503**
2 Collective Efficacy			0,255	0,377**	-0,080	-0,484**
3 Sociaaleconomische Status				0,451**	-0,278	-0,239
4 Culturele Diversiteit					-0,388**	-0,41**
5 Eenoudergezinnen						0,065
6 Verhuismobiliteit						

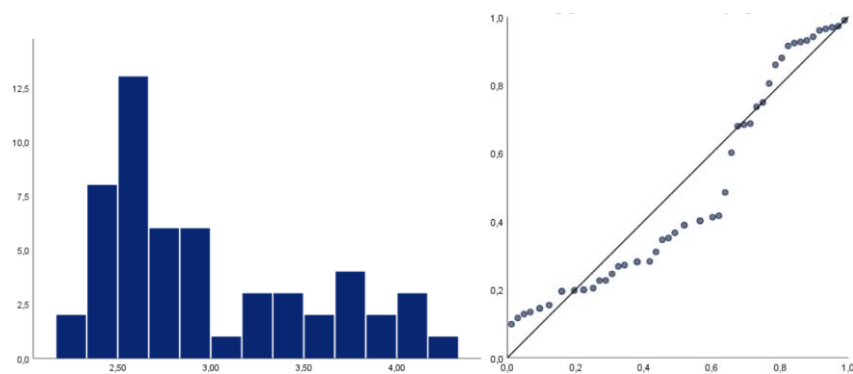
\*Correlatie is significant bij een tweezijdig niveau lager dan 0.05 ( $p < .05$ )

\*\*Correlatie is significant bij een tweezijdig niveau lager dan 0.01 ( $p < .01$ )

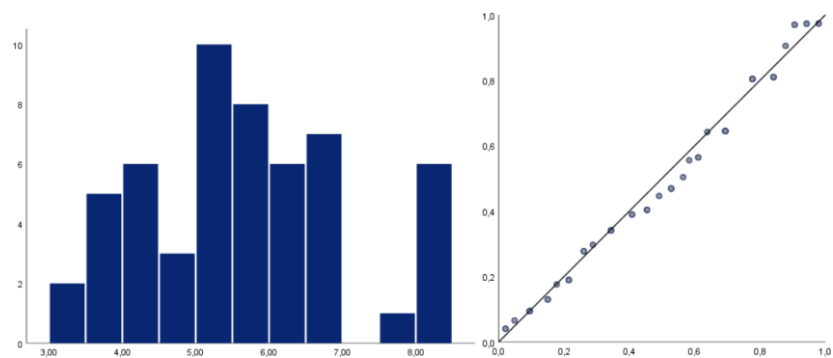
## Bijlage 4 – Histogrammen en PP-plots



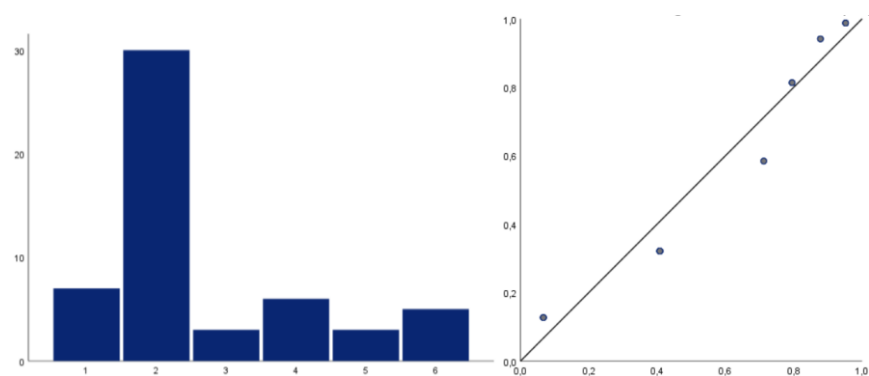
Figuur 10 (a,b) – Histogram (a) PP-plot (b) psychosociale jeugdproblematiek ( $N = 54$ )



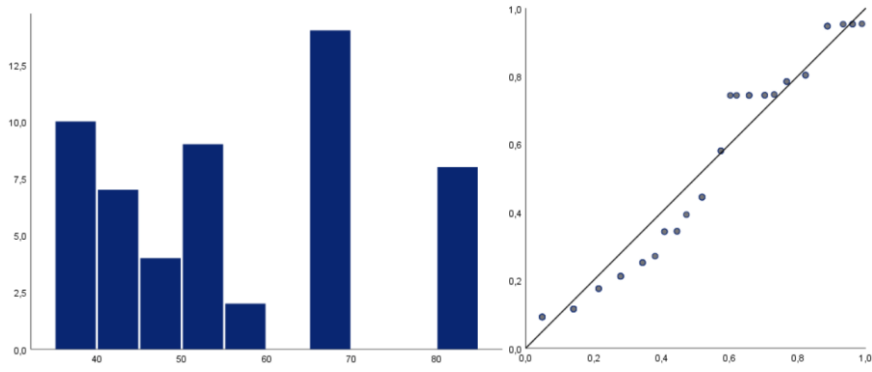
Figuur 11 (a,b) – Histogram (a) en PP-plot (b) psychosociale jeugdproblematiek ( $\log_{10}$ ) ( $N = 54$ )



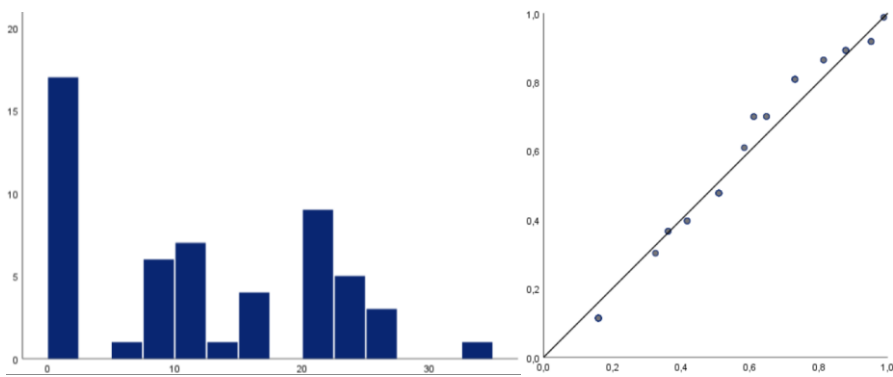
Figuur 12 (a,b) – Histogram (a) en PP-plot (b) collective efficacy ( $N = 54$ )



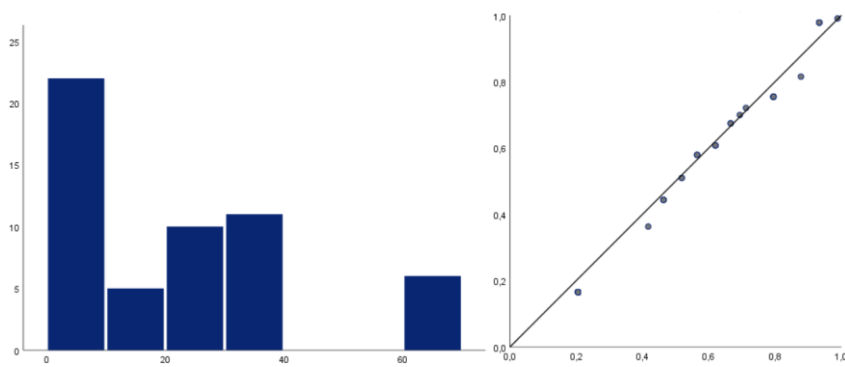
Figuur 13 (a,b) - Histogram (a) en PP-plot (b) sociaaleconomische status ( $N = 54$ )



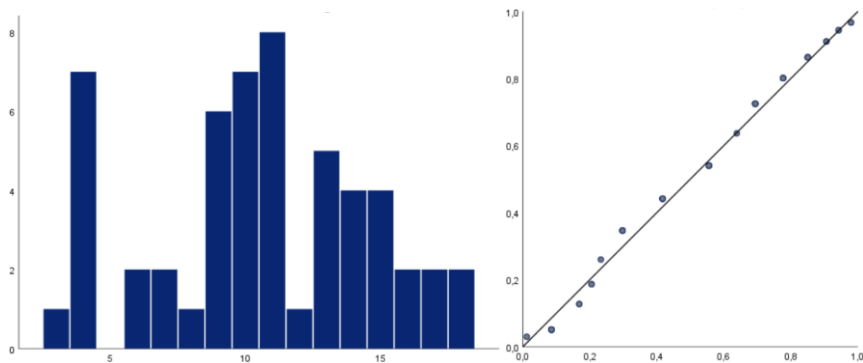
*Figuur 14 (a,b) - Histogram (a) en PP-plot (b) culturele diversiteit (N = 54)*



*Figuur 15 (a,b) - Histogram (a) en PP-plot (b) eenoudergezinnen (N = 54)*



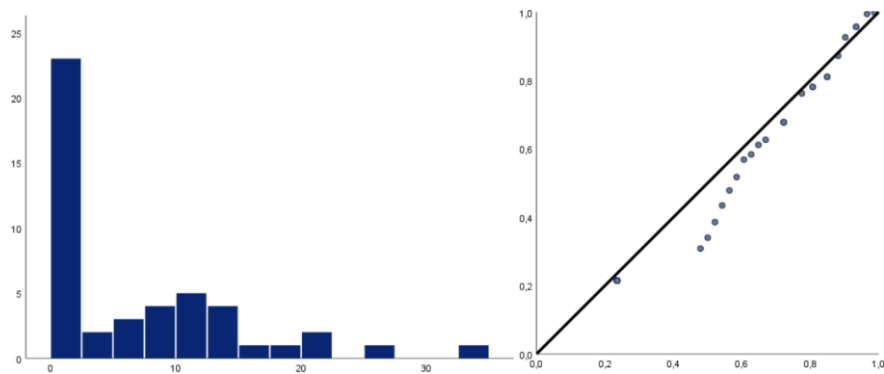
*Figuur 16 (a,b) - Histogram (a) en PP-plot (b) verhuismobiliteit (N = 54)*



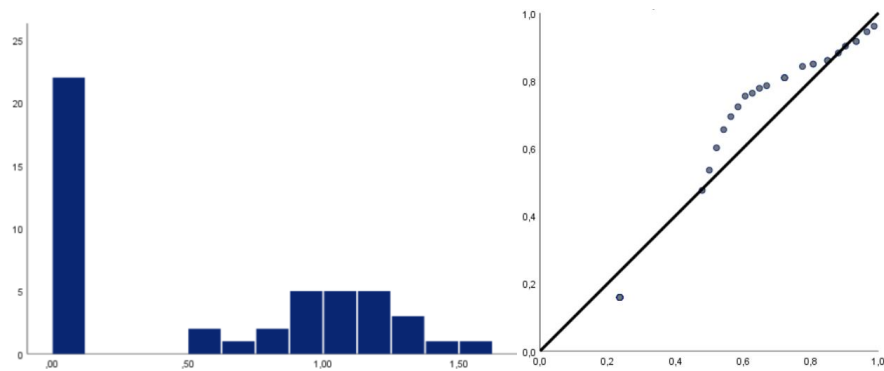
*Figuur 17 (a,b) - Histogram (a) en PP-plot (b) leeftijd (N = 54)*



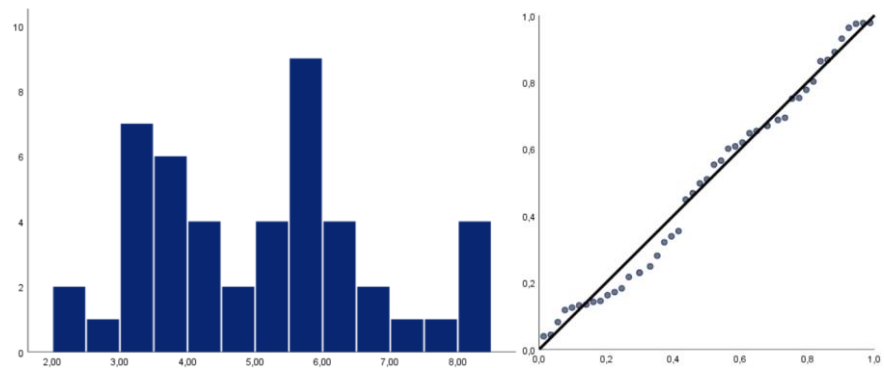
De volgende histogrammen en PP-plots betreffen de data uit de aanvullende analyse.



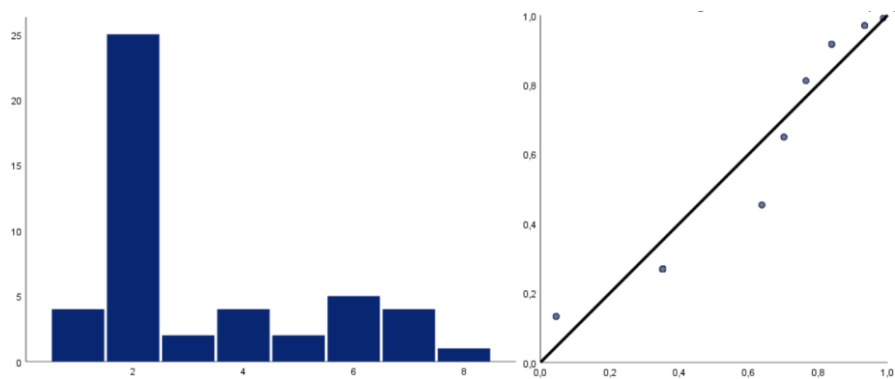
*Figuur 18 (a,b) – Histogram (a) PP-plot (b) geaggregeerde psychosociale jeugdproblematiek (N = 47)*



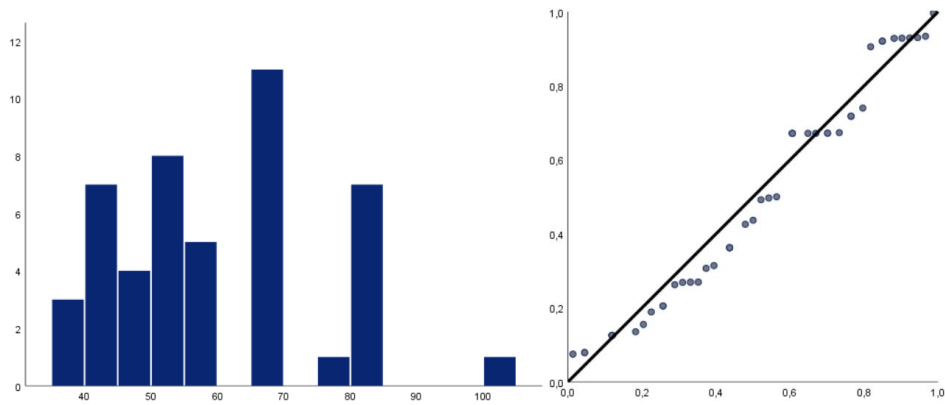
*Figuur 19 (a,b) – Histogram (a) PP-plot (b) geaggregeerde psychosociale jeugdproblematiek (log<sub>10</sub>) (N = 47)*



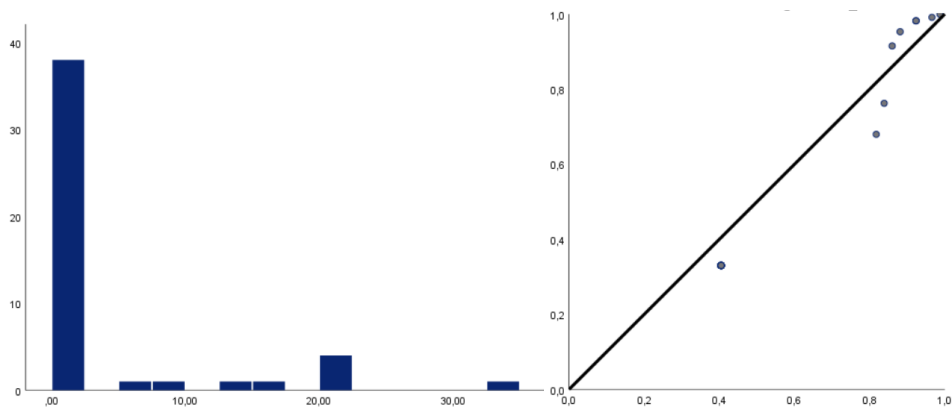
*Figuur 20 (a,b) – Histogram (a) PP-plot (b) collective efficacy (N = 47)*



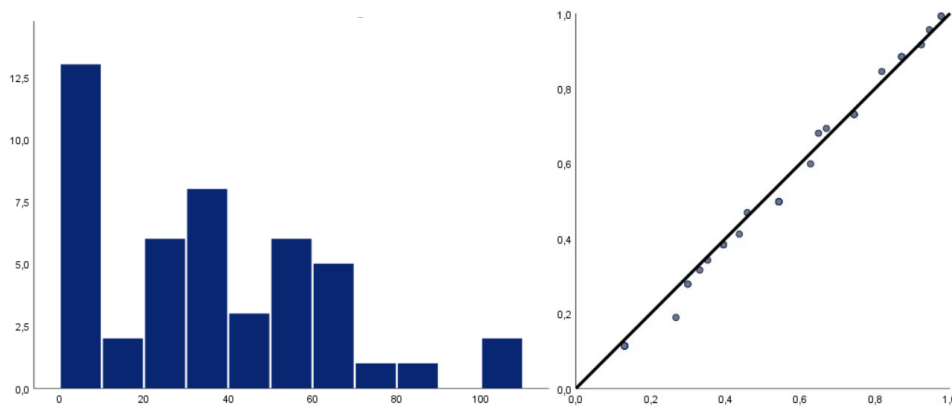
*Figuur 21 (a,b) – Histogram (a) PP-plot (b) sociaaleconomische status (N = 47)*



Figuur 22 (a,b) – Histogram (a) PP-plot (b) culturele diversiteit ( $N = 47$ )



Figuur 23 (a,b) – Histogram (a) PP-plot (b) eenoudergezinnen ( $N = 47$ )



Figuur 24 (a,b) – Histogram (a) PP-plot (b) verhuismobiliteit ( $N = 47$ )

## Bijlage 5 – Modelfit

Tabel 3 toont de resultaten van de lineaire regressie met als afhankelijke variabele collective efficacy, bestaande uit de modellen 1 tot en met 5. In model 1 tot en met 4 wordt getoetst of de buurtkenmerken afzonderlijk van elkaar bijdragen aan het voorspellen van psychosociale jeugdproblematiek. Uit de vier enkelvoudige modellen blijkt dat de buurtkenmerken sociaal economische status en culturele diversiteit afzonderlijk gezien zorgen voor een significante afname in voorspelfouten, de buurtkenmerken eenoudergezinnen en verhuismobiliteit daarentegen niet. Gekeken naar model 1, is de variabele sociaaleconomische status goed voor het verklaren van 9,6% van de variantie in collective efficacy ( $R^2 = 0,096$ ;  $F(1, 52) = 5,499$ ;  $p = .023$ ). In model 2 wordt collective efficacy geschat uit culturele diversiteit: dit model laat zien dat culturele diversiteit goed is voor het verklaren van 13,1% van de variantie in collective efficacy ( $R^2 = 0,131$ ;  $F(1, 52) = 7,842$ ;  $p = .007$ ). Vervolgens is in plaats van culturele diversiteit de variabele eenoudergezinnen toegevoegd in model 3, hieruit blijkt echter dat deze variabele nauwelijks zorgt voor een afname in voorspelfouten voor collective efficacy ( $R^2 = 0,038$ ;  $F(1, 52) = 2,032$ ;  $p = .160$ ). Voor model 4, waarin collective efficacy wordt voorspeld uit de variabele verhuismobiliteit, valt een soortgelijke conclusie te trekken ( $R^2 = 0,034$ ;  $F(1, 52) = 1,831$ ;  $p = .182$ ). Gekeken naar model 5, hebben de kwetsbaarheidskenmerken gezamenlijk een voorspelkracht 21,6% verklaarde variantie ( $R^2$  *adjusted*) in collective efficacy, een significant verschil met het lege model zonder deze voorspellende variabelen ( $R^2 = 0,275$ ;  $F(4, 49) = 4,641$ ;  $p = .003$ ).

Tabel 4 laat de resultaten zien van de lineaire regressie met als afhankelijke variabele de logtransformatie van de individuele psychosociale jeugdproblematiek, welke bestaat uit de modellen 6 tot en met 8. Gegeven dat deze modellen genest zijn zal hiervoor ook de toename in verklaringskracht worden getoetst. Te zien is allereerst dat de controlevariabelen leeftijd en geslacht in model 6 vrijwel niets toevoegen aan het lege model ( $R^2 = 0,007$ ;  $F(2, 51) = 0,185$ ;  $p = .831$ ). De toevoeging van de vier kwetsbaarheidskenmerken in model 7 levert echter een stijging van 14,7% verklaarde variantie op in psychosociale jeugdproblematiek, hoewel niet gesproken kan worden van een significante toename ( $R^2 = 0,154$ ;  $F(4, 47) = 2,037$ ;  $p = .104$ ). Uit het eindmodel (model 8) blijkt dat de toevoeging van collective efficacy de verklaringskracht aanzienlijk vergroot ten opzichte van het voorgaande model, hoewel wederom niet gesproken kan worden van een statistisch significante bijdrage aan de modelfit ( $R^2 = 0,195$ ;  $F(1, 46) = 2,328$ ;  $p = .134$ ).

Tabel 5 en 6 tonen de resultaten van de aanvullende analyses, waarbij de afhankelijke variabelen beide zijn geaggregeerd tot postcodeniveau om de prevalentie van psychosociale problematiek in de postcodegebieden te voorspellen. De modellen hebben dezelfde sequentiële opzet als de modellen in tabel 3 en 4.<sup>17</sup> Tabel 5 laat zien dat de enkelvoudige modellen met culturele diversiteit en verhuismobiliteit een significante voorspelkracht hebben in psychosociale jeugdproblematiek: in model 2 is te zien dat culturele diversiteit 14,2% van de variantie in de afhankelijke variabele verklaart ( $R^2 = 0,142$ ;  $F(1, 45) = 7,442$ ;  $p = .009$ ). Verhuismobiliteit levert met 23,4% verklaarde variantie in model 4 een aanzienlijke bijdrage aan de modelfit ( $R^2 = 0,234$ ;  $F(1, 45) = 13,776$ ;  $p = .001$ ). Hoewel de proportie verklaarde variantie in model 5 groter is ( $R^2 = 0,279$ ;  $F(4, 42) = 4,068$ ;  $p = .007$ ), kan niet worden gesproken van een verbetering van het model ( $R^2_a = 0,211$ ). Tabel 6 laat zien dat de buurtkenmerken een significant deel van de variantie in psychosociale jeugdproblematiek verklaren. In model 6 is zichtbaar dat de kwetsbaarheidsfactoren gezamenlijk goed zijn voor 41,7% verklaarde variantie ( $R^2 = 0,417$ ;  $F(1, 42) = 7,498$ ;  $p = .001$ ). Hoewel het eindmodel waarin ook collective efficacy is meegenomen een betere modelfit heeft, is het verschil slechts gering en niet significant ( $R^2 = 0,433$ ;  $F(1, 41) = 1,192$ ;  $p = .281$ ).

---

<sup>17</sup> Met uitzondering van model 6: de individuele de controlevariabelen leeftijd en geslacht sluiten niet aan bij het geaggregeerde schaalniveau van de aanvullende analyses.

## Bijlage 6 – Alternatieve lineaire regressies

Tabel 16 - Regressie met afhankelijke variabele psychosociale jeugdproblematiek ( $\log_{10}$ ), zonder buurtkenmerken ( $N = 54$ )

	<i>b</i> ( <i>SE</i> )	<i>p</i>	<i>b</i> ( <i>SE</i> )	<i>p</i>	VIF
Constante	3,083 0,240	<.001	3,705 0,381	<.001	
Leeftijd	-0,011 0,020	.574	-0,010 0,019	.616	1,002
Geslacht	0,037 0,159	.815	0,066 0,155	.674	1,008
Collective Efficacy			-0,115 0,056	.045	1,009
<i>R</i> <sup>2</sup>	0,007		0,085		
<i>R</i> <sup>2</sup> Change	0,007		0,077		
<i>R</i> <sup>2</sup> Adjusted	-0,032		0,030		
<i>F</i> (Change)	0,185	.831	4,228	.045	

Tabel 17 - Regressie met afafhankelijke variabele sociaaleconomische status (N = 47)

	Model 1		Model 2		Model 3		Model 4		Model 5		VIF
	<i>b</i> (SE)	<i>p</i>	<i>b</i> (SE)	<i>p</i>	<i>b</i> (SE)	<i>p</i>	<i>b</i> (SE)	<i>p</i>	<i>b</i> (SE)	<i>p</i>	
Constante	-0,314 1,080	.772	3,478 0,31	<.001	3,813 0,453	<.001	1,647 0,941	.087	0,153 1,760	.931	
Culturele Diversiteit	0,060 0,018	.001							0,046 0,022	.043	1,500
Eenoudergezinnen			-0,071 0,036	.059					-0,034 0,038	.375	1,194
Verhuismobiliteit					-0,017 0,011	.105			-0,003 0,038	.789	1,429
Collective Efficacy							0,312 0,176	.083	0,114 0,195	.562	1,376
<i>R</i> <sup>2</sup>	0,203		0,077		0,057		0,065		0,227		
<i>R</i> <sup>2</sup> Adjusted	0,185		0,057		0,036		0,044		0,154		
<i>F</i>	11,474	.001	3,757	.059	2,735	.105	3,135	.083	3,086	.026	

Tabel 18 - Regressie met afafhankelijke variabele culturele diversiteit (N = 47)

	Model 1		Model 2		Model 3		Model 4		Model 5		VIF
	<i>b</i> (SE)	<i>p</i>	<i>b</i> (SE)	<i>p</i>	<i>b</i> (SE)	<i>p</i>	<i>b</i> (SE)	<i>p</i>	<i>b</i> (SE)	<i>p</i>	
Constante	48,327 3,802	<.001	61,883 2,243	<.001	66,789 3,204	<.001	41,661 6,790	<.001	51,350 8,647	<.001	
Sociaaleconomische Status	3,396 1,003	.001							2,040 0,979	.043	1,173
Eenoudergezinnen			-0,743 0,263	.007					-0,543 0,239	.028	1,084
Verhuismobiliteit					-0,226 0,075	.004			-0,138 0,076	.082	1,331
Collective Efficacy							3,472 1,273	.009	1,524 1,281	.241	1,342
<i>R</i> <sup>2</sup>	0,203		0,151		0,168		0,142		0,396		
<i>R</i> <sup>2</sup> Adjusted	0,185		0,132		0,150		0,123		0,338		
<i>F</i>	13,615	.001	14,056	.007	13,91	.004	14,129	.009	12,273	<.001	

Tabel 19 - Regressie met afafhankelijke variabele eenoudergezinnen (N = 47)

	Model 1		Model 2		Model 3		Model 4		Model 5		VIF
	<i>b</i> (SE)	<i>p</i>	<i>b</i> (SE)	<i>p</i>	<i>b</i> (SE)	<i>p</i>	<i>b</i> (SE)	<i>p</i>	<i>b</i> (SE)	<i>p</i>	
Constante	6,996 2,138	.002	15,491 4,389	.001	2,841 1,831	.128	5,432 3,817	.612	16,917 6,651	.015	
Sociaaleconomische Status	-1,093 0,564	.059							-0,556 0,620	.375	1,270
Culturele Diversiteit			-0,203 0,072	.007					-0,202 0,089	.375	1,474
Verhuismobiliteit					0,019 0,043	.663			-0,029 0,048	.545	1,419
Collective Efficacy							-0,388 0,716	.591	0,249 0,793	.755	1,384
<i>R</i> <sup>2</sup>	0,077		0,151		0,004		0,006		0,178		
<i>R</i> <sup>2</sup> Adjusted	0,057		0,132		-0,018		-0,016		0,100		
<i>F</i>	3,757	.059	7,986	.007	0,193	.663	0,293	.591	2,276	.077	



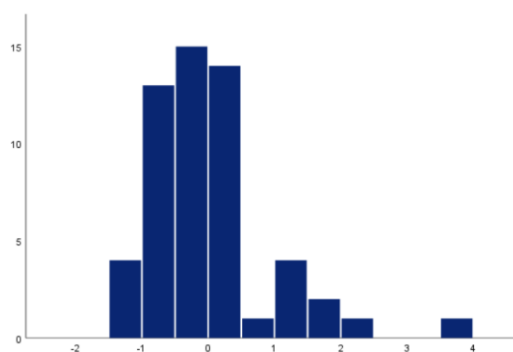
Tabel 20 - Regressie met afafhankelijke variabele verhuismobiliteit (N = 47)

	Model 1		Model 2		Model 3		Model 4		Model 5		VIF
	<i>b</i> (SE)	<i>p</i>	<i>b</i> (SE)	<i>p</i>	<i>b</i> (SE)	<i>p</i>	<i>b</i> (SE)	<i>p</i>	<i>b</i> (SE)	<i>p</i>	
Constante	43,752 7,518	<.001	77,374 15,115	<.001	33,362 4,416	<.001	74,370 11,660	<.001	98,502 17,157	<.001	
Sociaaleconomische Status	-3,278 1,982	.105							-0,541 2,007	.789	1,292
Culturele Diversiteit			-0,746 0,247	.004					-0,519 0,291	.082	1,538
Eenoudergezinnen					0,227 0,518	.663			-0,301 0,493	.545	1,206
Collective Efficacy							-8,110 2,186	.001	-6,257 2,355	.011	1,188
<i>R</i> <sup>2</sup>	0,057		0,168		0,004		0,234		0,302		
<i>R</i> <sup>2</sup> Adjusted	0,036		0,150		-0,018		0,217		0,235		
<i>F</i>	2,735	.105	9,103	.004	0,193	.663	13,766	.001	4,533	.004	

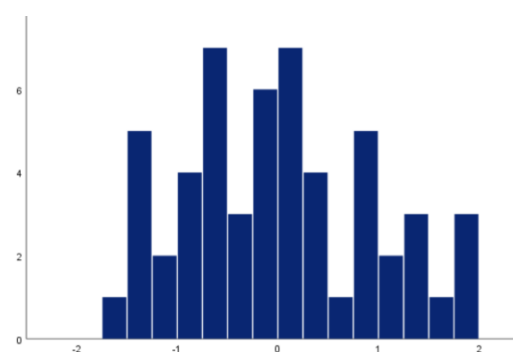
## Bijlage 7 – Modelinspectie

Allereerst is gecontroleerd of het model voldoet aan de assumpties voor lineaire regressie: onafhankelijke waarnemingen, normaliteit, lineariteit, en homoscedasticiteit. Vanwege het relatief kleine geografische gebied waarin de jongeren waar het onderzoek zicht op richt woonachtig zijn, is ten eerste niet geheel uit te sluiten dat de jongeren waar het onderzoek over gaat op een bepaalde manier met elkaar verbonden zijn: onbekend is of zij onderdeel uitmaken van elkaars sociale netwerk en derhalve is niet controleerbaar of zij elkaars gedrag beïnvloeden. Echter, voorsnog is er geen concrete aanleiding om aan te nemen dat de onderzoeksresultaten beïnvloed zijn door een onderlinge afhankelijkheid van de waarnemingen.

De verdeling van de residuen van het model met de oorspronkelijke variabele psychosociale jeugdproblematiek, week dermate af van de normaalcurve dat gesproken kon worden van een schending van de normaliteitsassumptie. In figuur 25 is te zien dat de rechtsscheve verdeling van psychosociale jeugdproblematiek die eerder werd geconstateerd, terugkwam in de verdeling van de residuen. Het toepassen van een logtransformatie op de afhankelijke variabele heeft geresulteerd in een meer symmetrische verdeling met veel massa rond het nulpunt, waarbij de residuen tussen twee standaarddeviaties liggen. Echter, gekeken naar de lege oppervlakte onder de denkbeeldige klokkromme in figuur 26 en de afwijkingen in de staarten blijft de conclusie ten aanzien van de normaliteitsassumptie onveranderd.

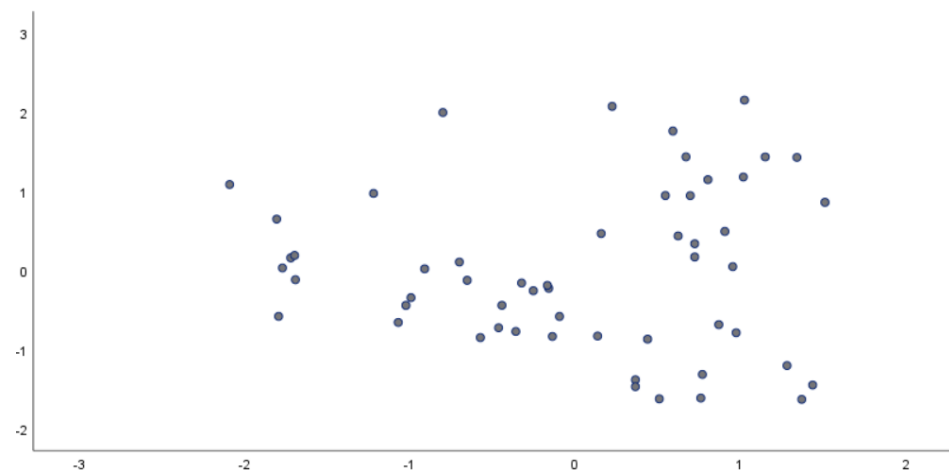


Figuur 25 - Histogram van de residuen voor logtransformatie



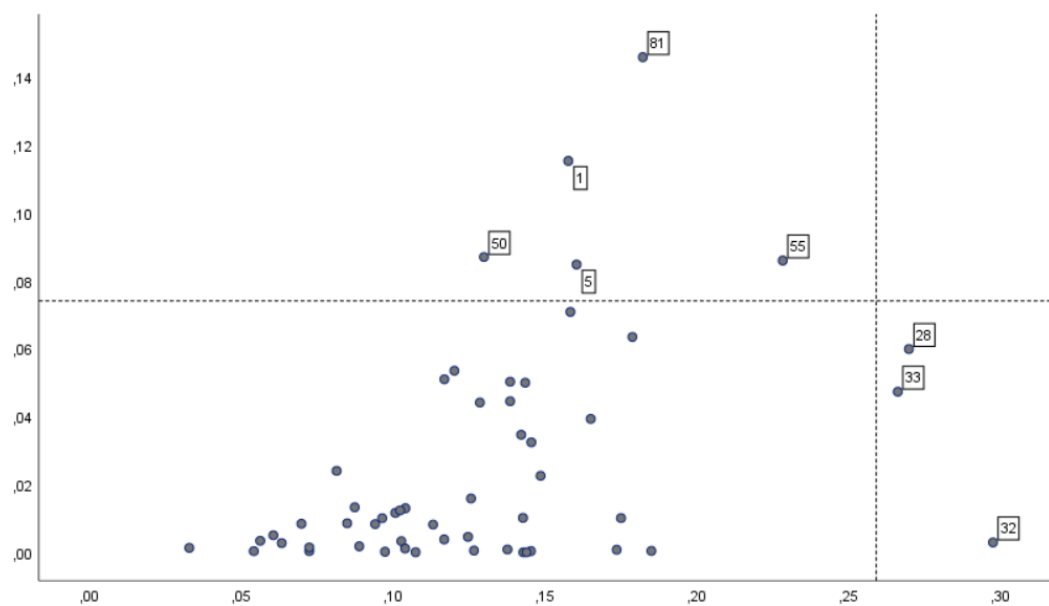
Figuur 26 - Histogram van de residuen na logtransformatie

In figuur 27 is een spreidingsdiagram weergegeven met daarin de gestudentiseerde residuen (y-as) afgezet tegen de gestandaardiseerde voorspelde waarden (x-as). Hoewel de puntenwolk op enkele gevallen na binnen twee standaarddeviaties van de gestudentiseerde verdeling van de residuen valt, zijn er een aantal afwijkingen. Voor wat betreft het lineaire verband, laat de residuenplot zien dat de puntenwolk zich enigszins van de horizontale nullijn af beweegt voor hogere voorspelde waarden. Daarnaast laat de residuenplot zien dat de varianties redelijk dicht bij elkaar liggen voor lagere voorspelde waarden, maar uitwaaiëren naarmate de voorspellingen een hogere waarde hebben. Doordat de residuen een systematisch negatieve afwijking vertonen en er geen sprake is van een constante spreiding van de varianties, dient te worden geconstateerd dat er niet gesproken kan worden van een lineair verband en er bovendien sprake is van heteroscedasticiteit. De assumpties met betrekking tot lineariteit en homoscedasticiteit zijn derhalve geschonden.



Figuur 27 - Residuenplot

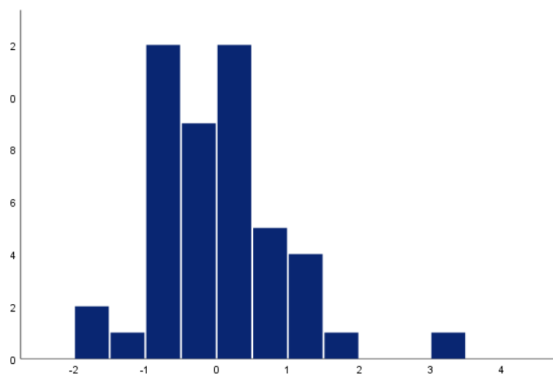
Uit nadere inspectie van de extreme waarden in het model, blijkt dat er enkele invloedrijke punten zijn te onderscheiden op basis van verschillende soorten diagnostiek. In figuur 28 zijn de Cook's distance (y-as) en leverage (x-as) tegen elkaar afgezet in een spreidingsdiagram: de verticale en horizontale stippellijnen geven de gehanteerde grens weer om te bepalen of cases als uitbijter kunnen worden aangemerkt op basis van deze diagnostiek. Deze drempelwaarden zijn respectievelijk afgeleid van de vuistregels  $CD_i > 4/n$  ( $CD_i > 4/54 = 0,074$ ) en  $h_c > 2p/n$  ( $h_c > 14/54 = 0,259$ ). Uit dit diagram komt één datapunt duidelijk naar voren, case 81. Dit datapunt overschrijdt ruim de drempelwaarde voor Cook's distance, en kan bovendien als uitbijter worden aangemerkt op basis van de DFBETA's en de DFFIT.<sup>18</sup> Naast case 81 zijn er geen datapunten die systematisch afwijken en op basis van meerdere vormen van diagnostiek kunnen worden aangemerkt als invloedrijk punt. Hoewel case 81 een extreme waarde betreft, is de invloedrijkheid ervan beperkt: gekeken naar de regressieresultaten van een model waarin de case niet wordt meegenomen blijven de toetsingsbeslissingen voor beide hypothesen onveranderd.



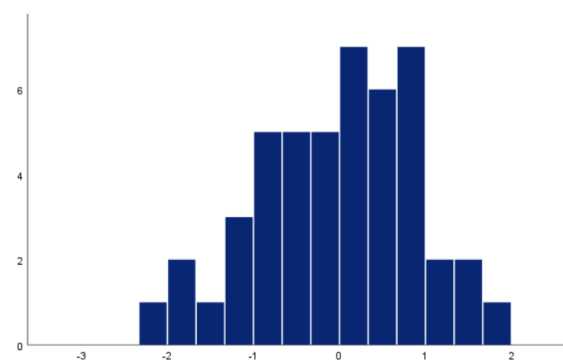
Figuur 28 - Cook's distance en Leverage waarden

<sup>18</sup> Case 81 heeft de hoogste DFFIT en DFBETA's voor de variabelen geslacht, leeftijd, culturele diversiteit, en eenoudergezinnen.

Ook voor de aanvullende analyse is een modelinspectie uitgevoerd om te checken of het model aan de toetsassumpties voldoet, en te controleren op invloedrijke punten. Allereerst geldt hierbij hetzelfde oordeel over de afhankelijkheid tussen de waarnemingen: hoewel het niet geheel is uit te sluiten, is er vooralsnog geen reden om uit te gaan van beïnvloeding tussen de jongeren die vertekenend kan zijn voor de conclusies van het onderzoek. Gekeken naar figuur 20 is te zien dat de residuen van de loggetransformeerde afhankelijke variabele op postcodeniveau bij benadering normaal is verdeeld: hoewel er rechts van het centrum een piek te zien is en de staarten wat massa tekortkomen, volgt de verdeling ruwweg de klokkromme en liggen de residuen binnen drie standaarddeviaties van het midden. In vergelijking met de oorspronkelijke afhankelijke variabele op postcodeniveau weergegeven in figuur 29, kan worden geconcludeerd dat de logtransformatie heeft bijgedragen aan een meer symmetrische verdeling.

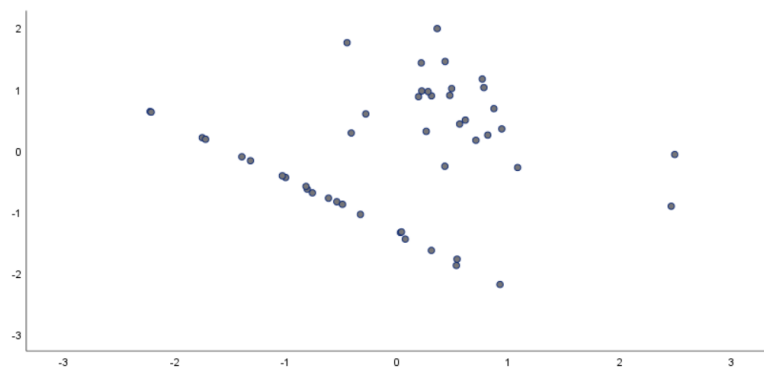


*Figuur 29 - Histogram van de residuen voor logtransformatie*



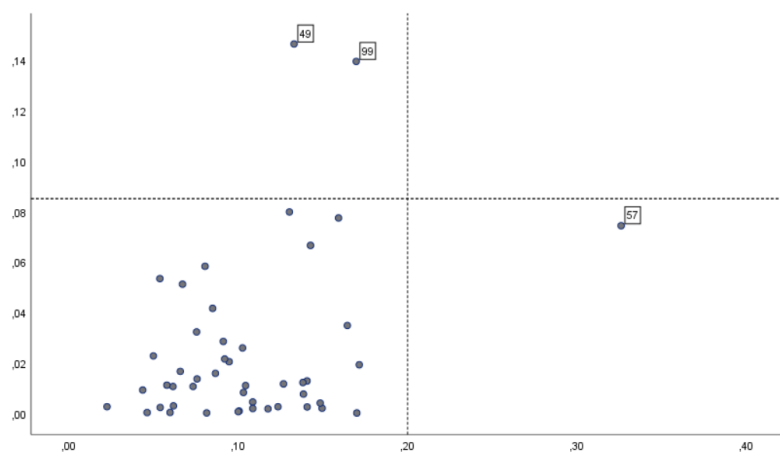
*Figuur 20 - Histogram van de residuen na logtransformatie*

Figuur 31 toont een spreidingsdiagram waarin de gestudentiseerde residuen op de y-as zijn afgezet tegen de gestandaardiseerde voorspellingen op de x-as. Hoewel de residuen binnen twee standaarddeviaties van het midden zijn verdeeld, laat de ongelijke spreiding en het patroon in de puntenwolk zien dat er niet gesproken kan worden van homoscedasticiteit en lineariteit. De puntenwolk vertoont enerzijds een diagonale lijn en anderzijds een clustering van datapunten, wat verklaard zou kunnen worden door een relatief hoog aantal nulwaarden in de dataset. Naarmate de voorspelde waarden hoger zijn beweegt de diagonale lijn verder af van de horizontale nullijn waaruit blijkt dat er geen sprake is van een lineair verband. Deze afwijking zorgt er in combinatie met de clustering van de datapunten voor dat de varianties uitwaaiëren voor hogere voorspelde waarden. Hieruit blijkt dat de verdeling van de residuen niet constant is voor alle waarnemingen.



Figuur 31 - Residuenplot

Uit de inspectie van invloedrijke punten blijkt dat het aanvullende model niet wordt beïnvloed door extreme waarden. De cases die op basis van de vuistregels voor Cook's Distance ( $CD_i > 4/47 = 0,085$ ) en Leverage ( $h_c > 10/47 = 0,212$ ) de drempelwaarde overschrijden zoals te zien is in figuur 32, worden niet door andere vormen van diagnostiek aangemerkt als invloedrijke waarden.



Figuur 32 - Cook's distance en Leverage waarden

## Bijlage 8 – Syntax

\*Her coderingen items collective efficacy.

```
RECODE VerantwoordelijkBuurt (1=1) (2=0) INTO VerantwoordelijkBuurt_rec.  
EXECUTE.
```

```
RECODE BurenHulp (1=1) (2=0) INTO BurenHulp_rec.  
EXECUTE.
```

```
RECODE BurenGeholpen (1=1) (2=0) INTO BurenGeholpen_rec.  
EXECUTE.
```

```
RECODE HulpBuren (1=1) (2=0) INTO HulpBuren_rec.  
EXECUTE.
```

```
RECODE ContactBuren (1=1) (2=0) INTO ContactBuren_rec.  
EXECUTE.
```

```
RECODE BurenKennen (6=SYSMIS) (1 thru 3=0) (4 thru 5=1) INTO BurenKennen_rec.  
EXECUTE.
```

```
RECODE BurenOmgaan (6=SYSMIS) (1 thru 2=1) (3 thru 5=0) INTO BurenOmgaan_rec.  
EXECUTE.
```

```
RECODE BurenSaamhorig (6=SYSMIS) (1 thru 2=1) (3 thru 5=0) INTO BurenSaamhorig_rec.  
EXECUTE.
```

```
RECODE BurenThuisvoelen (6=SYSMIS) (1 thru 2=1) (3 thru 5=0) INTO BurenThuisvoelen_rec.  
EXECUTE.
```

```
RECODE GehechtheidBuurt (6=SYSMIS) (1 thru 2=1) (3 thru 5=0) INTO GehechtheidBuurt_rec.  
EXECUTE.
```

\*Missing Value Analysis.

```
MVA VARIABLES=VerantwoordelijkBuurt_rec BurenHulp_rec BurenGeholpen_rec HulpBuren_rec  
ContactBuren_rec BurenKennen_rec BurenOmgaan_rec BurenSaamhorig_rec BurenThuisvoelen_rec  
GehechtheidBuurt_rec  
/EM(TOLERANCE=0.001 CONVERGENCE=0.0001 ITERATIONS=25).
```

\*Impute Missing Data Values.

```
DATASET DECLARE Imputatie_Bijsterveld.  
MULTIPLE IMPUTATION VerantwoordelijkBuurt_rec BurenHulp_rec BurenGeholpen_rec HulpBuren_rec  
ContactBuren_rec BurenKennen_rec BurenOmgaan_rec BurenSaamhorig_rec BurenThuisvoelen_rec  
GehechtheidBuurt_rec Verhuisswens_rec  
/IMPUTE METHOD=FCS MAXITER= 5 NIMPUTATIONS=5 SCALEMODEL=LINEAR INTERACTIONS=NONE SINGULAR=1E-012  
MAXPCTMISSING=NONE  
/MISSINGSUMMARIES NONE  
/IMPUTATIONSUMMARIES MODELS DESCRIPTIVES |  
/OUTFILE IMPUTATIONS=Imputatie_Bijsterveld.
```

\*Construct indexvariabele collective efficacy.

```
COMPUTE CollectiveEfficacy=SUM(VerantwoordelijkBuurt_rec, BurenHulp_rec, BurenGeholpen_rec,  
HulpBuren_rec, ContactBuren_rec, BurenKennen_rec, BurenOmgaan_rec, BurenSaamhorig_rec,  
BurenThuisvoelen_rec, GehechtheidBuurt_rec).  
EXECUTE.
```

\*Cronbachs alpha construct collective efficacy.

```
RELIABILITY  
/VARIABLES=VerantwoordelijkBuurt_rec BurenHulp_rec BurenGeholpen_rec HulpBuren_rec  
ContactBuren_rec BurenKennen_rec BurenOmgaan_rec BurenSaamhorig_rec BurenThuisvoelen_rec  
GehechtheidBuurt_rec  
/SCALE('ALL VARIABLES') ALL  
/MODEL=ALPHA  
/SUMMARY=TOTAL.
```

\*Gemiddelde collective efficacy per postcode.

```
MEANS TABLES=CollectiveEfficacy BY Postcode  
/CELLS=MEAN COUNT STDDEV.
```

\*(Her)codering verhuisswens c.q. verhuismobiliteit.

```
FREQUENCIES VARIABLES=Verhuisswens  
/ORDER=ANALYSIS.
```

```
RECODE Verhuisswens (6=SYSMIS) (1 thru 2=0) (3 thru 5=1) INTO Verhuisswens_rec.  
EXECUTE.
```

```
SORT CASES BY Imputation_Postcode.  
SPLIT FILE LAYERED BY Imputation_Postcode.
```

```
FREQUENCIES VARIABLES=Verhuisswens_rec  
/ORDER=ANALYSIS.
```

```
COMPUTE Verhuisswens_rec=(Verhuisswens / Respondenten)*100.  
EXECUTE.
```

\*Codering culturele diversiteit met Herfindahl-Hirschman index.

```
COMPUTE Nederlands_rec=Nederlands / Inwoners.  
EXECUTE.
```

```
COMPUTE Westers_rec=Westers / Inwoners.  
EXECUTE.
```

```
COMPUTE Nietwesters_rec=Nietwesters / Inwoners.  
EXECUTE.
```

```
COMPUTE CultureleDiversiteit=((Nederlands_rec * Nederlands_rec) + (Westers_rec * Westers_rec) + (Nietwesters_rec *  
Nietwesters_rec))*100.  
EXECUTE.
```



\*Codering eenoudergezinnen.

```
COMPUTE Eenoudergezinnen_rec=(Eenoudergezinnen / Huishoudens)*100.  
EXECUTE.
```

\*Intraclass correlatie coëfficiënt.

#### RELIABILITY

```
/VARIABLES=Postcode_9741AJ Postcode_9742AJ Postcode_9742BB Postcode_9742NJ Postcode_9742NK  
Postcode_9742NL Postcode_9742NM Postcode_9742NN Postcode_9742NW Postcode_9742PA Postcode_9742PK  
Postcode_9742PL Postcode_9742PM Postcode_9742PX Postcode_9742RB Postcode_9742RC Postcode_9742RD  
Postcode_9742SB Postcode_9742SC Postcode_9742SE Postcode_9742SM Postcode_9742SP Postcode_9742SR  
Postcode_9742TA Postcode_9742TB Postcode_9742TD Postcode_9742TJ Postcode_9742TL Postcode_9742TM  
Postcode_9742TN Postcode_9742TP Postcode_9742TR Postcode_9742TS Postcode_9742TV Postcode_9742VA  
Postcode_9742VB Postcode_9742VC Postcode_9742VE Postcode_9742VH Postcode_9742VJ Postcode_9742VK  
Postcode_9742VR Postcode_9742XA Postcode_9742XC Postcode_9742XD Postcode_9742XE Postcode_9742XG  
Postcode_9742XJ Postcode_9742XK  
/SCALE('ALL VARIABLES') ALL  
/MODEL=ALPHA  
/ICC=MODEL(MIXED) TYPE(CONSISTENCY) CIN=95 TESTVAL=0.
```

\*Multilevel analyse.

#### MIXED Kosten

```
/CRITERIA=DFMETHOD(SATTERTHWAITE) CIN(95) MXITER(100) MXSTEP(10) SCORING(1)  
SINGULAR(0.000000000001) HCONVERGE(0, ABSOLUTE) LCONVERGE(0, ABSOLUTE) PCONVERGE(0.000001, ABSOLUTE)  
/FIXED=| SSTYPE(3)  
/METHOD=ML  
/PRINT=G SOLUTION TESTCOV  
/RANDOM=INTERCEPT | SUBJECT(Postcode) COVTYPE(VC).
```

\*Logtransformatie individuele psychosociale jeugdproblematiek.

```
COMPUTE Log10_Jeugdzorgkosten=LG10(Jeugdzorgkosten).  
EXECUTE.
```

```
COMPUTE Log10_Jeugdzorgkosten=LG10(Jeugdzorgkosten + 1).  
EXECUTE.
```

```
EXAMINE VARIABLES=Log10_Jeugdzorgkosten
```

```
/PLOT BOXPLOT HISTOGRAM  
/COMPARE GROUPS  
/STATISTICS DESCRIPTIVES  
/CINTERVAL 95  
/MISSING LISTWISE  
/NOTOTAL.
```

#### PLOT

```
/VARIABLES=Log10_Jeugdzorgkosten  
/NOSTANDARDIZE  
/TYPE=P-P  
/FRACTION=BLOM  
/TIES=MEAN  
/DIST=NORMAL.
```

\*Select cases met >=3 respondenten.

```
USE ALL.
```

```
COMPUTE filter_$=(Respondenten >= 3).
```

```
VARIABLE LABELS filter_$ 'Respondenten >= 3 (FILTER)'.  
VALUE LABELS filter_$ 0 'Not Selected' 1 'Selected'.  
FORMATS filter_$ (f1.0).  
FILTER BY filter_$.  
EXECUTE.
```

\*Select cases met >=3 respondenten en niet-missende logaritmische waarde.

**USE ALL.**

**COMPUTE** Filter=(Respondenten >= 3 & Log10\_Jeugdzoekkosten >= 0).

**VARIABLE LABELS** Filter 'Respondenten >= 3 & Log10\_Jeugdzoekkosten >= 0 (FILTER)'.  
**VALUE LABELS** Filter 0 'Not Selected' 1 'Selected'.

**FORMATS** Filter (f1.0).

**FILTER BY** Filter.

**EXECUTE.**

\*Univariate analyse - beschrijvende statistieken.

**EXAMINE VARIABLES=**Jeugdzoekkosten Log10\_Jeugdzoekkosten CollectiveEfficacy Inkomen CultureleDiversiteit

Eenoudergezinnen\_rec Verhuisswens\_rec Leeftijd

**/PLOT** BOXPLOT HISTOGRAM

**/COMPARE** GROUPS

**/STATISTICS** DESCRIPTIVES

**/CINTERVAL** 95

**/MISSING** LISTWISE

**/NOTOTAL.**

**FREQUENCIES VARIABLES=**Jeugdzoekkosten Log10\_Jeugdzoekkosten CollectiveEfficacy Inkomen CultureleDiversiteit

Eenoudergezinnen\_rec Verhuisswens\_rec Leeftijd Geslacht

**/NTILES=**4

**/STATISTICS=**MINIMUM MAXIMUM

**/ORDER=**ANALYSIS.

**PLOT**

**/VARIABLES=**Jeugdzoekkosten Log10\_Jeugdzoekkosten CollectiveEfficacy Inkomen CultureleDiversiteit Eenoudergezinnen\_rec

Verhuisswens\_rec Leeftijd

**/NOLOG**

**/NOSTANDARDIZE**

**/TYPE=**P-P

**/FRACTION=**BLOM

**/TIES=**MEAN

**/DIST=**NORMAL.

\*Bivariate analyse - correlaties.

**CORRELATIONS**

**/VARIABLES=**Log10\_Jeugdzoekkosten CollectiveEfficacy Inkomen CultureleDiversiteit Eenoudergezinnen\_rec

Verhuisswens\_rec Leeftijd Geslacht

**/PRINT=**TWOTAIL NOSIG

**/MISSING=**PAIRWISE.

**GRAPH**

**/SCATTERPLOT(BIVAR)=**CollectiveEfficacy WITH Log10\_Jeugdzoekkosten

**/MISSING=**LISTWISE.

**GRAPH**

**/SCATTERPLOT(BIVAR)=**CultureleDiversiteit WITH Log10\_Jeugdzoekkosten

**/MISSING=**LISTWISE.

\*Model 1, 2, 3, 4.

**REGRESSION**

**/DESCRIPTIVES** MEAN STDDEV CORR SIG N

**/MISSING** LISTWISE

**/STATISTICS** COEFF OUTS CI(95) R ANOVA COLLIN TOL CHANGE

**/CRITERIA=**PIN(.05) POUT(.10)

**/NOORIGIN**

**/DEPENDENT** CollectiveEfficacy

**/METHOD=**ENTER Inkomen

**/SCATTERPLOT=**(\*ZPRED , \*SRESID).

**REGRESSION**

**/DESCRIPTIVES** MEAN STDDEV CORR SIG N

**/MISSING** LISTWISE

**/STATISTICS** COEFF OUTS CI(95) R ANOVA COLLIN TOL CHANGE

**/CRITERIA=**PIN(.05) POUT(.10)

**/NOORIGIN**

**/DEPENDENT** CollectiveEfficacy

**/METHOD=**ENTER CultureleDiversiteit

**/SCATTERPLOT=**(\*ZPRED , \*SRESID).

**REGRESSION**

```
/DESCRIPTIVES MEAN STDDEV CORR SIG N  
/MISSING LISTWISE  
/STATISTICS COEFF OUTS CI(95) R ANOVA COLLIN TOL CHANGE  
/CRITERIA=PIN(.05) POUT(.10)  
/NOORIGIN  
/DEPENDENT CollectiveEfficacy  
/METHOD=ENTER Eenoudergezinnen  
/SCATTERPLOT=(*ZPRED ,*SRESID).
```

**REGRESSION**

```
/DESCRIPTIVES MEAN STDDEV CORR SIG N  
/MISSING LISTWISE  
/STATISTICS COEFF OUTS CI(95) R ANOVA COLLIN TOL CHANGE  
/CRITERIA=PIN(.05) POUT(.10)  
/NOORIGIN  
/DEPENDENT CollectiveEfficacy  
/METHOD=ENTER Verhuiswens  
/SCATTERPLOT=(*ZPRED ,*SRESID).
```

\*Model 5.

**REGRESSION**

```
/DESCRIPTIVES MEAN STDDEV CORR SIG N  
/MISSING LISTWISE  
/STATISTICS COEFF OUTS CI(95) R ANOVA COLLIN TOL CHANGE  
/CRITERIA=PIN(.05) POUT(.10)  
/NOORIGIN  
/DEPENDENT CollectiveEfficacy  
/METHOD=ENTER Inkomen CultureleDiversiteit Eenoudergezinnen_rec Verhuiswens_rec  
/SCATTERPLOT=(*ZPRED ,*SRESID).  
/SAVE ZPRED COOK LEVER SRESID DFBETA DFFIT.
```

\*Model 6, 7 en 8.

**REGRESSION**

```
/DESCRIPTIVES MEAN STDDEV CORR SIG N  
/MISSING LISTWISE  
/STATISTICS COEFF OUTS CI(95) R ANOVA COLLIN TOL CHANGE  
/CRITERIA=PIN(.05) POUT(.10)  
/NOORIGIN  
/DEPENDENT Log10_Jeugdzoekkosten  
/METHOD=ENTER Leeftijd Geslacht  
/METHOD=ENTER Inkomen CultureleDiversiteit Eenoudergezinnen_rec Verhuiswens_rec  
/METHOD=ENTER CollectiveEfficacy  
/SCATTERPLOT=(*SRESID ,*ZPRED)  
/RESIDUALS HISTOGRAM(ZRESID) NORMPROB(ZRESID).  
/SAVE ZPRED COOK LEVER SRESID DFBETA DFFIT.
```

\*Alternatieve lineaire regressie zonder kwetsbaarheidskenmerken..

**REGRESSION**

```
/DESCRIPTIVES MEAN STDDEV CORR SIG N  
/MISSING LISTWISE  
/STATISTICS COEFF OUTS CI(95) R ANOVA COLLIN TOL CHANGE  
/CRITERIA=PIN(.05) POUT(.10)  
/NOORIGIN  
/DEPENDENT Log10_Jeugdzoekkosten  
/METHOD=ENTER Leeftijd Geslacht  
/METHOD=ENTER CollectiveEfficacy  
/SCATTERPLOT=(*SRESID ,*ZPRED)  
/RESIDUALS HISTOGRAM(ZRESID) NORMPROB(ZRESID).  
/SAVE ZPRED COOK LEVER SRESID DFBETA DFFIT.
```

\*Modelcheck: Cook's distance uitgezet tegen Leverage.

**GRAPH**

```
/SCATTERPLOT(BIVAR)=Leverage WITH CooksDistance  
/MISSING=LISTWISE.
```

\*Modelcheck: Exclude case 81.

**USE ALL.**

```
COMPUTE Filter_check=(Case ^= 81 & Respondenten >= 3 & Log10_Jeugdzoekkosten >= 0).
```

```
VARIABLE LABELS Filter_check 'Case ^= 81 & Respondenten >= 3 & Log10_Jeugdzoekkosten >= 0 (FILTER)'.  
VALUE LABELS Filter_check 0 'Not Selected' 1 'Selected'.  
FORMATS Filter_check (f1.0).  
FILTER BY Filter_check.  
EXECUTE.
```

\*AANVULLENDE ANALYSE.

\*Logtransformatie psychosociale jeugdproblematiek per postcode.

```
COMPUTE Jongeren=Kinderen + Adolescenten.
```

```
EXECUTE.
```

```
COMPUTE Jeugdproblematiek=(Clënten / Jongeren) * 100.
```

```
EXECUTE.
```

```
COMPUTE Log10_Jeugdproblematiek=LG10(Jeugdproblematiek + 1).
```

```
EXECUTE.
```

\*Aanvullende univariate analyse - beschrijvende statistieken.

```
EXAMINE VARIABLES=Jeugdproblematiek_rec Log10_Jeugdproblematiek CollectiveEfficacy Inkomen CultureleDiversiteit  
Eenoudergezinnen_rec Verhuiswens_rec
```

```
Einoudergezinnen_rec Verhuiswens_rec
```

```
/PLOT BOXPLOT HISTOGRAM
```

```
/COMPARE GROUPS
```

```
/STATISTICS DESCRIPTIVES
```

```
/CINTERVAL 95
```

```
/MISSING LISTWISE
```

```
/NOTOTAL.
```

```
FREQUENCIES VARIABLES=Jeugdproblematiek_rec Log10_Jeugdproblematiek CollectiveEfficacy Inkomen CultureleDiversiteit  
Eenoudergezinnen_rec Verhuiswens_rec
```

```
Einoudergezinnen_rec Verhuiswens_rec
```

```
/NTILES=4
```

```
/STATISTICS=MINIMUM MAXIMUM
```

```
/ORDER=ANALYSIS.
```

**PLOT**

```
/VARIABLES=Jeugdproblematiek_rec Log10_Jeugdproblematiek CollectiveEfficacy Inkomen CultureleDiversiteit Eenoudergezinnen_rec  
Verhuiswens_rec
```

```
Verhuiswens_rec
```

```
/NOLOG
```

```
/NOSTANDARDIZE
```

```
/TYPE=P-P
```

```
/FRACTION=BLOM
```

```
/TIES=MEAN
```

```
/DIST=NORMAL.
```

\*Aanvullende bivariate analyse - correlaties.

#### CORRELATIONS

```
/VARIABLES=Log10_Jeugdproblematiek CollectiveEfficacy Inkomen CultureleDiversiteit Eenoudergezinnen_rec  
Verhuiswens_rec  
/PRINT=TWOTAIL NOSIG  
/MISSING=PAIRWISE.
```

\*Aanvullend model 1, 2, 3, 4.

#### REGRESSION

```
/DESCRIPTIVES MEAN STDDEV CORR SIG N  
/MISSING LISTWISE  
/STATISTICS COEFF OUTS CI(95) R ANOVA COLLIN TOL CHANGE  
/CRITERIA=PIN(.05) POUT(.10)  
/NOORIGIN  
/DEPENDENT CollectiveEfficacy  
/METHOD=ENTER Inkomen  
/SCATTERPLOT=(*ZPRED ,*SRESID).
```

#### REGRESSION

```
/DESCRIPTIVES MEAN STDDEV CORR SIG N  
/MISSING LISTWISE  
/STATISTICS COEFF OUTS CI(95) R ANOVA COLLIN TOL CHANGE  
/CRITERIA=PIN(.05) POUT(.10)  
/NOORIGIN  
/DEPENDENT CollectiveEfficacy  
/METHOD=ENTER CultureleDiversiteit  
/SCATTERPLOT=(*ZPRED ,*SRESID).
```

#### REGRESSION

```
/DESCRIPTIVES MEAN STDDEV CORR SIG N  
/MISSING LISTWISE  
/STATISTICS COEFF OUTS CI(95) R ANOVA COLLIN TOL CHANGE  
/CRITERIA=PIN(.05) POUT(.10)  
/NOORIGIN  
/DEPENDENT CollectiveEfficacy  
/METHOD=ENTER Eenoudergezinnen_rec  
/SCATTERPLOT=(*ZPRED ,*SRESID).
```

#### REGRESSION

```
/DESCRIPTIVES MEAN STDDEV CORR SIG N  
/MISSING LISTWISE  
/STATISTICS COEFF OUTS CI(95) R ANOVA COLLIN TOL CHANGE  
/CRITERIA=PIN(.05) POUT(.10)  
/NOORIGIN  
/DEPENDENT CollectiveEfficacy  
/METHOD=ENTER Verhuiswens_rec  
/SCATTERPLOT=(*ZPRED ,*SRESID).
```

\*Aanvullend model 5.

#### REGRESSION

```
/DESCRIPTIVES MEAN STDDEV CORR SIG N  
/MISSING LISTWISE  
/STATISTICS COEFF OUTS CI(95) R ANOVA COLLIN TOL CHANGE  
/CRITERIA=PIN(.05) POUT(.10)  
/NOORIGIN  
/DEPENDENT CollectiveEfficacy  
/METHOD=ENTER Inkomen CultureleDiversiteit Eenoudergezinnen_rec Verhuiswens_rec  
/SCATTERPLOT=(*ZPRED ,*SRESID).  
/SAVE ZPRED COOK LEVER SRESID DFBETA DFFIT.
```

\*Aanvullend model 6 en 7.

```
REGRESSION
/DESCRIPTIVES MEAN STDDEV CORR SIG N
/MISSING LISTWISE
/STATISTICS COEFF OUTS CI(95) R ANOVA COLLIN TOL CHANGE
/CRITERIA=PIN(.05) POUT(.10)
/NOORIGIN
/DEPENDENT Log10_Jeugdproblematiek
/METHOD=ENTER Inkomen CultureleDiversiteit Eenoudergezinnen_rec Verhuishwens_rec
/METHOD=ENTER CollectiveEfficacy
/SCATTERPLOT=(*SRESID,*ZPRED)
/RESIDUALS HISTOGRAM(ZRESID) NORMPROB(ZRESID).
/SAVE ZPRED COOK LEVER SRESID DFBETA DFFIT.
```

\*Cook's Distance uitgezet tegen Leverage waarden.

```
GRAPH
/SCATTERPLOT(BIVAR)=Leverage WITH CooksDistance
/MISSING=LISTWISE.
```

\*Alternatieve lineaire regressie met sociaaleconomische status als afhankelijke variabele.

```
REGRESSION
/MISSING LISTWISE
/STATISTICS COEFF OUTS R ANOVA
/CRITERIA=PIN(.05) POUT(.10)
/NOORIGIN
/DEPENDENT Inkomen
/METHOD=ENTER CultureleDiversiteit.
```

```
REGRESSION
/MISSING LISTWISE
/STATISTICS COEFF OUTS R ANOVA
/CRITERIA=PIN(.05) POUT(.10)
/NOORIGIN
/DEPENDENT Inkomen
/METHOD=ENTER Eenoudergezinnen_rec.
```

```
REGRESSION
/MISSING LISTWISE
/STATISTICS COEFF OUTS R ANOVA
/CRITERIA=PIN(.05) POUT(.10)
/NOORIGIN
/DEPENDENT Inkomen
/METHOD=ENTER Verhuishwens_rec.
```

```
REGRESSION
/MISSING LISTWISE
/STATISTICS COEFF OUTS R ANOVA
/CRITERIA=PIN(.05) POUT(.10)
/NOORIGIN
/DEPENDENT Inkomen
/METHOD=ENTER CollectiveEfficacy.
```

```
REGRESSION
/MISSING LISTWISE
/STATISTICS COEFF OUTS CI(95) R ANOVA COLLIN TOL CHANGE
/CRITERIA=PIN(.05) POUT(.10)
/NOORIGIN
/DEPENDENT Inkomen
/METHOD=ENTER CultureleDiversiteit Eenoudergezinnen_rec Verhuishwens_rec CollectiveEfficacy.
```

\*Alternatieve lineaire regressie met culturele diversiteit als afhankelijke variabele.

```
REGRESSION  
/MISSING LISTWISE  
/STATISTICS COEFF OUTS R ANOVA  
/CRITERIA=PIN(.05) POUT(.10)  
/NOORIGIN  
/DEPENDENT CultureleDiversiteit  
/METHOD=ENTER Inkomen.
```

```
REGRESSION  
/MISSING LISTWISE  
/STATISTICS COEFF OUTS R ANOVA  
/CRITERIA=PIN(.05) POUT(.10)  
/NOORIGIN  
/DEPENDENT CultureleDiversiteit  
/METHOD=ENTER Eenoudergezinnen_rec.
```

```
REGRESSION  
/MISSING LISTWISE  
/STATISTICS COEFF OUTS R ANOVA  
/CRITERIA=PIN(.05) POUT(.10)  
/NOORIGIN  
/DEPENDENT CultureleDiversiteit  
/METHOD=ENTER Verhuiswens_rec.
```

```
REGRESSION  
/MISSING LISTWISE  
/STATISTICS COEFF OUTS R ANOVA  
/CRITERIA=PIN(.05) POUT(.10)  
/NOORIGIN  
/DEPENDENT CultureleDiversiteit  
/METHOD=ENTER CollectiveEfficacy.
```

```
REGRESSION  
/MISSING LISTWISE  
/STATISTICS COEFF OUTS CI(95) R ANOVA COLLIN TOL CHANGE  
/CRITERIA=PIN(.05) POUT(.10)  
/NOORIGIN  
/DEPENDENT CultureleDiversiteit  
/METHOD=ENTER Inkomen Eenoudergezinnen_rec Verhuiswens_rec CollectiveEfficacy.
```

\*Alternatieve lineaire regressie met eenoudergezinnen als afhankelijke variabele.

```
REGRESSION  
/MISSING LISTWISE  
/STATISTICS COEFF OUTS R ANOVA  
/CRITERIA=PIN(.05) POUT(.10)  
/NOORIGIN  
/DEPENDENT Eenoudergezinnen_rec  
/METHOD=ENTER Inkomen.
```

```
REGRESSION  
/MISSING LISTWISE  
/STATISTICS COEFF OUTS R ANOVA  
/CRITERIA=PIN(.05) POUT(.10)  
/NOORIGIN  
/DEPENDENT Eenoudergezinnen_rec  
/METHOD=ENTER CultureleDiversiteit.
```

```
REGRESSION  
/MISSING LISTWISE  
/STATISTICS COEFF OUTS R ANOVA  
/CRITERIA=PIN(.05) POUT(.10)  
/NOORIGIN  
/DEPENDENT Eenoudergezinnen_rec  
/METHOD=ENTER Verhuiswens_rec.
```

```
REGRESSION  
/MISSING LISTWISE  
/STATISTICS COEFF OUTS R ANOVA  
/CRITERIA=PIN(.05) POUT(.10)  
/NOORIGIN  
/DEPENDENT Eenoudergezinnen_rec  
/METHOD=ENTER CollectiveEfficacy.
```

```
REGRESSION
/MISSING LISTWISE
/STATISTICS COEFF OUTS CI(95) R ANOVA COLLIN TOL CHANGE
/CRITERIA=PIN(.05) POUT(.10)
/NOORIGIN
/DEPENDENT Eenoudergezinnen_rec
/METHOD=ENTER Inkomen CultureleDiversiteit Verhuisswens_rec CollectiveEfficacy.
```

\*Alternatieve lineaire regressie met verhuismobiliteit als afhankelijke variabele.

```
REGRESSION
/MISSING LISTWISE
/STATISTICS COEFF OUTS R ANOVA
/CRITERIA=PIN(.05) POUT(.10)
/NOORIGIN
/DEPENDENT Verhuisswens_rec
/METHOD=ENTER Inkomen.
```

```
REGRESSION
/MISSING LISTWISE
/STATISTICS COEFF OUTS R ANOVA
/CRITERIA=PIN(.05) POUT(.10)
/NOORIGIN
/DEPENDENT Verhuisswens_rec
/METHOD=ENTER CultureleDiversiteit.
```

```
REGRESSION
/MISSING LISTWISE
/STATISTICS COEFF OUTS R ANOVA
/CRITERIA=PIN(.05) POUT(.10)
/NOORIGIN
/DEPENDENT Verhuisswens_rec
/METHOD=ENTER Eenoudergezinnen_rec.
```

```
REGRESSION
/MISSING LISTWISE
/STATISTICS COEFF OUTS R ANOVA
/CRITERIA=PIN(.05) POUT(.10)
/NOORIGIN
/DEPENDENT Verhuisswens_rec
/METHOD=ENTER CollectiveEfficacy.
```

```
REGRESSION
/MISSING LISTWISE
/STATISTICS COEFF OUTS CI(95) R ANOVA COLLIN TOL CHANGE
/CRITERIA=PIN(.05) POUT(.10)
/NOORIGIN
/DEPENDENT Verhuisswens_rec
/METHOD=ENTER Inkomen CultureleDiversiteit Eenoudergezinnen_rec CollectiveEfficacy.
```